

CLIPPING DIGITAL

16/10/2020



**Departamento de Edificações e Estradas de Rodagem de  
Minas Gerais – DER-MG**

**Fontes de consulta:** *Impressos* - [Estado de Minas](#), [Hoje em Dia](#), [O Tempo](#), [Minas Gerais](#), [Diário do Comércio](#), Folha de São Paulo, Correio Braziliense e Ideia Fixa.  
*Rádios e TVs* - Circuito Integrado  
*Revistas* – [Encontro](#), [Viver](#) e [Mercado Comum](#)  
*Jornais Interior* – Folha da Manhã, Jornal Cultura & Comércio, Ideia Fixa e Rede Clipping

# ESTADO DE MINAS

www.em.com.br

BELO HORIZONTE, SEXTA-FEIRA, 16 DE OUTUBRO DE 2020

MC: R\$ 2,50 • RÔTULO 28.462 • FECHAMENTO DA EDIÇÃO: 0h



## FELIPÃO VOLTA À TOCA

O presidente do Cruzeiro, Sérgio Santos Rodrigues, anunciou ontem o retorno do técnico Luiz Felipe Scolari (foto), com contrato até o fim de 2022. Ele ainda não estreia, mas a expectativa é de que o fim do impose no comando já exerça influência sobre a equipe, que recebe hoje o Juventude, às 21h30. PÁGINA 16



KELEN CRISTINA

De todos os nomes, Felipão é o que tem o couro mais curtido para a situação. PÁGINA 16

FLAMENGO SÓ EMPATA NO RIO E GALO SEGURA A LIDERANÇA PÁGINA 15

### MERCADO DE TRABALHO

# INDÚSTRIA E CONSTRUÇÃO IMPULSIONAM RETOMADA

Minas registra melhor taxa de criação de vagas na pandemia, mas ainda tem 1,26 mi de desempregados

O mercado de trabalho em Minas dá sinais de recuperação, após acumular 140 mil demissões a mais que as contratações entre março e maio, principalmente devido aos efeitos da pandemia. Com o impulso sobretudo da indústria e da construção civil, agosto foi o melhor mês para a criação de empregos formais no estado desde o início da crise da COVID-19, segundo o Ministério da Economia. Com 28.339 novos postos com carteira assinada, o desempenho da economia mineira ficou atrás apenas de São Paulo (64.552). Uberlândia, no Triângulo, lidera em vagas ofertadas pelo Sistema Nacional de Emprego, à frente da capital, que aparece em segundo lugar.

Para profissionais de nível superior, as principais oportunidades oferecidas estão em áreas estratégicas de gestão e marketing. Porém, apesar de esses indicadores darem sinais de retomada da economia, a recuperação ainda é incipiente diante da alta taxa de desemprego no estado, medida em 12,3%, com 1,26 milhão de pessoas sem ocupação, com base nos dados mais recentes, também de agosto. Outra preocupação vem do número de pedidos de seguro-desemprego no mesmo mês: 51.200, volume 80% maior que a quantidade de vagas abertas no período. As esperanças de maior aquecimento estão depositadas na aproximação do Natal e em 2021. PÁGINA 9

## IBOPE: KALIL VENCE NO 1º TURNO

PESQUISA APONTA ATUAL PREFEITO DE BELO HORIZONTE E CANDIDATO À REELEIÇÃO COM 59% DAS INTENÇÕES DE VOTO, CONTRA 7% DE JOÃO VITOR, 2º COLOCADO

PÁGINA 5



### VEREADOR DE BH É PRESO

Ronaldo Batista (foto) foi detido preventivamente ontem, sob suspeita de participar do assessorato do também vereador Hamilton Dias de Moura (MDB), de Funilândia, na Região Central de Minas, com quem tinha dois vínculos relacionados à representação sindical. Antes de ser encaminhado ao Ceresp da Gameleira, o acusado negou participação no crime, ocorrido em 23 de julho. PÁGINA 2



### SENADOR PERDE VICE-LIDERANÇA E É AFASTADO DO MANDATO

Destituído pelo Plenário do posto de vice-líder, Chico Rodrigues (DEM-RR), flagrado com cerca de R\$ 30 mil dentro da cueca em operação da PF, teve afastamento do mandato por 90 dias determinado pelo STF. PÁGINA 4

### Sob novo alerta de chuva, Grande BH conta prejuízos

Depois dos estragos do último temporal, a Região Metropolitana de BH começou a sexta-feira sob alerta para mais pancadadas de chuva acompanhadas de rajadas de vento. Preocupação extra para quem já teve prejuízo com combinação semelhante na noite de quarta, como a dona de casa Geralda das Graças Nestor (foto), do Bairro Novo Riacho, em Contagem. No dia em que completava 71 anos, ela teve destelhada a casa, que ainda aguarda reparos dos estragos causados pela temporada chuvosa anterior. PÁGINA 14

## PENSAR

A história de Ângela Diniz

COM EXTENSA E CUIDADOSA PESQUISA, O PODCAST PRAIA DOS OSSOS USA A CRIATIVIDADE PARA RECONSTITUIR A VIDA E A MORTE DA MINEIRA, ASSASSINADA POR DOCA STREET EM 1976. CAPA



Assinaturas e serviço de atendimento: Belo Horizonte: (31) 3263-5800  
Assinatura Uai: 0800 031 5000 • Baixe o aplicativo Estado de Minas na Google Play ou Apple Store.



WhatsApp: (31) 99402-0234

DIÁRIOS ASSOCIADOS DA

**Pandemia.** Comércio de BH vai funcionar por uma hora a mais. **Página 15**

# O TEMPO

R\$ 2,00 (outros Estados R\$ 3,00) - www.otempo.com.br - Belo Horizonte - Ano 24 - Número 8707 - Sexta-feira, 16/10/2020



CEZAR GREGO/FOTONERIA



KIRILL KUDRYAVTSEV/AFP

Funcionários públicos desinfectam estação de trem em Moscou

## Mortes na Europa podem quintuplicar

HOSPITAIS VOLTAM A ENCHER, E OMS ALERTA PARA OS RISCOS DO FIM DAS RESTRIÇÕES.

Página 17

## PREMIADO

Artista une Portinari a Giramundo em uma charge sobre Beatles.

Magazine. Página 28

## PESQUISA

Homens sentem mais prazer com sexo oral do que as mulheres.

Interessa. Página 25

## AGORA VAI! Felipão é do Cruzeiro novamente

Luiz Felipe Scolari aceitou o projeto de reconstrução do clube celeste. **Página 32**

## EX-DIRIGENTES

Ministério Público denuncia Wagner, Itair e Serginho.

Página 33

## ATLÉTICO

Junior Alonso, Alan Franco e Savarino estão fazendo falta.

Página 34

## VÔLEI

Líder Sada Cruzeiro e Uberlândia disputam semifinal do Mineiro.

Página 39

**Escândalo.** Polícia Federal encontrou R\$ 33.150 dentro da peça íntima

# Senador flagrado com dinheiro na cueca é afastado

Chico Rodrigues (DEM) era vice-líder do governo Bolsonaro

Senador, suspeito de desviar dinheiro destinado ao enfrentamento da Covid, foi pego pela Polícia Federal com dinheiro escondido dentro da cueca. Dos R\$ 33.150, R\$ 15 mil estavam nas nádegas. Ele não foi preso, mas o ministro Barroso, do Supremo Tribunal Federal, ordenou afastamento por 90 dias. Rodrigues era vice-líder do governo Bolsonaro no Senado, posto que ele entregou ontem. **Página 13**

## Assassinato em BH Investigaçãõ leva a prisão de vereador

Ronaldo Batista (PSC) foi preso preventivamente ontem, por suspeita de envolvimento no homicídio de um vereador de Fumilândia. **Página 3**

## Eleições 2020

## Kalil segue na liderança isolada em BH

Só dois candidatos cresceram nas intenções de voto: o atual prefeito, Kalil, passou de 58% para 59%; e João Vitor Xavier, de 4% para 7%. **Página 10**



ALEXANDRE MOTA

**A hora dela.** Opção de lazer, exercício e transporte, a bicicleta passa de coadjuvante a protagonista: vendas cresceram 87% de abril a agosto; Ana Coan espera, agora, mais consciência no trânsito. **Página 19**

## Julgamento nervoso STF confirma: André do Rap ficará detido

Por 9 a 1, ministros do Supremo apoiaram decisão de Luiz Fux, que revogou soltura do traficante, mas foi acusado de extrapolar seus poderes. **Página 20**

## COLONISTAS

PAULO PAIVA O difícil resgate da economia

Página 2

CAROL RACHE Não normalize a ansiedade

Página 25

# HOJE EM DIA

HOJEEEMDIA.COM.BR - ANO XXXII - Nº 11.444  
 ASSINATURA/RELAÇÃOAMENTO COM O ASSINANTE: (31) 3236-8000 - HOJEEEMDIA.COM.BR/ASSINE  
 WHATSAPP: (31) 98497-0510 - E-MAIL: ATENDIMENTO@HOJEEEMDIA.COM.BR

FIQUE POR DENTRO COM TODOS OS CANAIS DO HOJE EM DIA

- ON-LINE
- HOJEEEMDIA.COM.BR
- FACEBOOK.COM/JORNALHOJEEEMDIA
- INSTAGRAM @JORNALHOJEEEMDIA
- TWITTER @JORNALHOJEEEMDIA
- WHATSAPP — 31.98372-1031

14°C A 25°C  
 MUITAS NUVENS COM PANCADAS DE CHUVA E TROVADAS SOLADAS



SEXTA  
 BELA HORIZONTE / MG

16 OUT 20



PALMERAS/DIVULGAÇÃO

Felipão retornou à **Toca**. O novo técnico do Cruzeiro terá contrato até o fim de 2022. Na primeira passagem pelo clube, levou a Raposa à vitória da Copa Sul-Minas de 2001.

## MAIS EMPREGO NOS PEQUENOS NEGÓCIOS

Dados oficiais mostram que 18 mil dos 28 mil postos de trabalho abertos no Estado em agosto foram ofertados por micro e pequenas empresas. O número

corresponde a 64% do total de vagas criadas. Incremento do comércio online foi fundamental para o cenário positivo. **PRIMEIRO PLANO - P.2**

## MINAS REGISTRA 1,4 MIL GOLPES PELO ZAP A CADA 24 HORAS

Só em setembro, bandidos "agiram" 43 mil vezes no Estado, indicam dados de empresa de segurança digital. Um dos crimes mais comuns é pedir dinheiro

emprestado, fingindo ser amigo da vítima. Há casos em que os criminosos contam com a ajuda de funcionários de operadoras de telefonia. **HORIZONTES - P.9**

## ESTADO 'NA COLA' DO CORONAVÍRUS

Tecnologia desenvolvida pela Secretaria de Saúde vai rastrear pessoas que tiveram contato com casos confirmados ou suspeitos de Covid. Ideia é "quebrar" cadeia de transmissão.

## PREVISÃO DE CHUVA E VENTANIA NA CAPITAL

Fenômenos podem ter intensidade semelhante à registrada na última quarta-feira, quando ventos atingiram 98 km/h. Motivo é a transição para a época chuvosa, diz meteorologista.

PEDRO VILELA/CINEART/DIVULGAÇÃO



### DE VOLTA

PBH anuncia hoje data de reabertura de cinemas e teatros. Prevenção à Covid inclui limpeza rigorosa e público reduzido. **ALMANAQUE - P.10 E 11**



*Precisamos voltar a ser alegres, receptivos, acolhedores. É preciso movimentar a economia, gerar mais empregos, para cuidar do sustento das pessoas"*

MARCELO SOUZA E SILVA (PATRIOTA)

## MARCELO SOUZA E SILVA MIRA PARCERIAS INTERNACIONAIS PARA BH

Candidato do Patriota quer se aliar ao Estado e ao governo Federal na busca de ajuda estrangeira para retomar investimentos em infraestrutura. Afastado da CDL, ele diz que hoje falta diálogo da prefeitura com o comércio. **PRIMEIRO PLANO - P.3**



BARBARA DUTRA/DIVULGAÇÃO



# DIÁRIO DO COMÉRCIO

JOSÉ COSTA  
FUNDADOR



DESDE 1932 - EDIÇÃO 24.207 - R\$ 2,50

BELO HORIZONTE, SEXTA-FEIRA, 16 DE OUTUBRO DE 2020

## Apesar de esforços, panificação em MG projeta queda de 5% para 2020

No Dia Mundial do Pão (16), segmento ainda enfrenta muitos desafios em decorrência da pandemia

Todos os esforços que as padarias de Minas têm feito para recuperar as vendas perdidas com os reflexos da pandemia da Covid-19 devem resultar em um fechamento em 2020 com cerca de 5% de queda. A estimativa é do Sindicato e Associação Mineira da Indústria da Panificação (Amipão).

Hoje (16) é comemorado o Dia Mundial do Pão e o cenário para o segmento é bastante desafiador. Além da queda da demanda, a pandemia da Covid-19 trouxe como efeitos para o setor a alta dos preços e ainda a falta de mercadorias. Com a elevação de alguns insumos, o custo de produção no Estado registra um aumento em torno de 10% a 12%.

Diante desse contexto, a estimativa é de que, em média, as padarias tenham recuperado até agora somente 20% do que perderam na pandemia. Em parte, porque as pessoas têm passado a frequentar mais esses locais, uma vez que diversos profissionais retornaram ao trabalho presencial. Pág. 5



Até agora, o setor de panificação em Minas estima uma recuperação de apenas 20% das perdas resultantes da crise com a Covid-19

### EDITORIAL

Começou o horário político gratuito na televisão. No geral, um triste espetáculo, fazendo lembrar suas origens, quando o então ministro da Justiça Armando Falcão, mero cumpridor de ordens ainda que o fizesse com algum entusiasmo, tentava dar ventos de normalidade às eleições que então não passavam de farsa. Ficou o pior, sem que o tempo cedido pelas emissoras de televisão – que não é gratuito – seja aproveitado para apresentação de propostas e projetos. Em suma, e como nas suas origens, uma farsa, um deprimente espetáculo que talvez também ajude a explicar o resultado de pesquisas que apontam como cada vez menor o interesse de brasileiros pela política, tal como ela nos é apresentada. “Não pode dar certo”, pag. 2



Mudas de palmas serão enviadas a 32 municípios do Estado

### Projeto vai levar mudas de palmas resistentes a praga para produtores

Iniciativa é resultado de parceria liderada pela Companhia de Desenvolvimento dos Vales do São Francisco e do Parnaíba, que vai possibilitar a micropropagação de palmas forrageiras resistentes à praga Cochonilha do Carmim a produtores do semiárido de Minas Gerais. Os agricultores selecionados receberão mudas de alta performance provenientes de viveiros de aclimação. Ao todo, 205 municípios do País serão beneficiados com a parceria, sendo 32 mineiros.

A palma é historicamente utilizada pelos produtores do semiárido brasileiro para alimentação dos rebanhos. Pág. 8

### Mercado enxerga tendência de estabilização dos preços do minério

Apesar das oscilações nos preços da commodity, com queda nos últimos dias, a expectativa de especialistas consultados pelo DIÁRIO DO COMÉRCIO é pela estabilização do minério de ferro em médio e longo prazos.

Dados do Ministério da Indústria, Comércio

Exteriore Serviços mostram que o minério de ferro foi o produto mais exportado por Minas Gerais de janeiro a setembro deste ano. No período, a exportação do item somou US\$ 6,547 bilhões, um aumento de 5,8% em relação aos mesmos meses do ano passado (US\$ 6,184 bilhões). Pág. 4



No ano até setembro, exportações mineiras de minério de ferro cresceram 5,8% em receita

**ARTIGOS** Págs. 2 e 3

- Um legado inexorável da pandemia** (Nicolas Marchon)
- Indefinição da reforma tributária** (Daniel Calderon)
- Impacto da falta de eficiência energética no Brasil** (Rodrigo Pereira)
- Exploração de estacionamento em edifícios comerciais** (Kênio de Souza Pereira)

### Fa.vela lança braço de consultoria para empresas

A Futuros Inclusivos foi criada para atender à demanda de empresas, de forma sistematizada e com metodologia própria, que buscam implementar uma política diversa e plural de maneira sustentável. A nova vertical foi inaugurada em setembro pelo Fa.vela, conhecido por ser uma aceleradora de negócios sociais.

Empresas de diferentes portes e setores já firmaram parcerias com a plataforma. Algumas, pela própria natureza do negócio, saíram na frente na busca, como as de setores como educação e alimentação. Pág. 9

### Polo de Nova Serrana prevê forte retomada neste ano

O Sindicato Intermunicipal das Indústrias de Calçados de Nova Serrana (Sindinova) acredita que, até o fim de 2020, haja recuperação de até 80% da produção, tendo como referência o desempenho do ano passado. Só no último mês, o polo de calçados localizado na região Centro-Oeste de Minas Gerais abriu quase mil postos de trabalho, depois de registrar um saldo positivo de empregos também em agosto.

De acordo com o setor, a flexibilização das medidas de isolamento social adotadas para combater a disseminação da Covid-19 é um dos fatores que contribuiu para a melhora da perspectiva para este ano. Pág. 6



<b>Dólar - dia 15</b>	<b>Euro - dia 15</b>
Comercial Compra R\$ 5,6240   Venda R\$ 5,6250	Compra R\$ 6,5703   Venda R\$ 6,5727
Turismo	<b>Ouro - dia 15</b>
Compra R\$ 5,5870   Venda R\$ 5,7570	Nova York (onça-troy)   US\$ 1.907,97
Plax (IBC)	BM&F (q)   R\$ 343,73
Compra R\$ 5,6166   Venda R\$ 5,6172	

TR (dia 16)	0,0000%
Poupança (dia 16)	0,1159%
IPCA-IBGE (Setembro)	0,64%
IPCA-Ipead (Setembro)	0,64%
IGP-M (Setembro)	4,34%



# O ESTADO DE S. PAULO



Sexta-feira 16 DE OUTUBRO DE 2020 R\$ 5,00 ANO 141 Nº 48385

estado.com.br

## Pesquisa mostra empate técnico entre Covas e Russomanno

### Eleições 2020

Celso Russomanno (Republicanos) e Bruno Covas (PSDB) estão tecnicamente empatados na disputa pela Prefeitura de São Paulo, segundo pesquisa Ibope/TV Globo/Estadão. Eles têm 25% e 22% das intenções de voto, respectivamente. A seguir estão Guilherme Boulos (PSOL), com 10%, e Márcio França (PSB), com 7%. Covas conseguiu reduzir em oito pontos percentuais sua taxa de rejeição na primeira pesquisa após o início da propaganda eleitoral na televisão - realizada entre 13 e 15 de outubro. A parcela de paulistanos que não votaram no prefeito de jeito nenhum passou de 31% para 23% em duas semanas. No caso de Russomanno, a taxa foi de 27% para 30%. **POLÍTICA/PÁG. A4**

#### Intenção de voto em São Paulo

EM PORCENTAGEM	2019	27/10	15/10
Celso Russomanno (Repúbl.)	24	26	25
Bruno Covas (PSDB)	18	21	22
Guilherme Boulos (PSOL)	8	8	10
Márcio França (PSB)	6	7	7
Jlmar Tatto (PT)	1	1	4
Arthur de Val (Patristial)	2	1	2
João Hasselmann (PSL)	2	1	1
André Matarazzo (PSD)	1	1	1
Filipe Sabará (Novo)	1	0	1
Levy Fidelix (PRTB)	1	1	1
Marina Helou (Rede)	1	1	1
Orlando Silva (PCdoB)	1	1	1
Vera Lúcia (PSTU)	1	2	1
Antonio Carlos Silva (PCC)	0	1	0
Nenhum/branco/nulo	23	20	17
Não sabe/não respondeu	10	8	7



**Levantamento.** Russomanno tem 25% das intenções de voto



**Diferença.** Covas tem 22%, margem de erro de 3 pontos

### Sabatina Estadão

#### Covas nacionaliza campanha municipal

O prefeito e candidato à reeleição em São Paulo, Bruno Covas (PSDB), criticou a quebra dos recursos federais repassados pelo governo Jair Bolsonaro à cidade e nacionalizou a campanha durante a primeira sabatina do Estadão nas eleições municipais. **PÁG. A5**

#### Ação na Justiça mira supersalários na Câmara

PÁG. A6

## Vencimento de dívida no início de 2021 põe governo em alerta

Fatura em títulos entre janeiro e abril somará R\$ 643 bilhões, mais que o dobro da média dos últimos cinco anos

Uma fatura de R\$ 643 bilhões em dívidas do governo vence entre janeiro e abril. O valor é mais que o dobro da média dos últimos cinco anos. Esse crescimento dos vencimentos de curto prazo se deve à perda de confiança do mercado em relação à sustentabilidade das contas públicas. O Tesouro Nacional enfrenta dificuldades para vender titu-

los de longo prazo. Segundo o BC, está ocorrendo um "choque fiscal". Com a pandemia, o governo teve de gastar mais e a dívida pública deve chegar no fim do ano ao equivalente a 100% do PIB. A situação seria contornável com a perspectiva de um ajuste nas contas públicas, mas os investidores temem que ele seja inviabilizado por medidas

populistas para reeleger o presidente Jair Bolsonaro. Se tiver dificuldades com a dívida, o governo poderá ter de elevar os juros e prejudicar a retomada da economia. O subsecretário da dívida pública do Tesouro, José Franco de Moraes, garante que até o fim de dezembro o governo terá o dinheiro para pagar os vencimentos. **ECONOMIA/PÁG. B1**

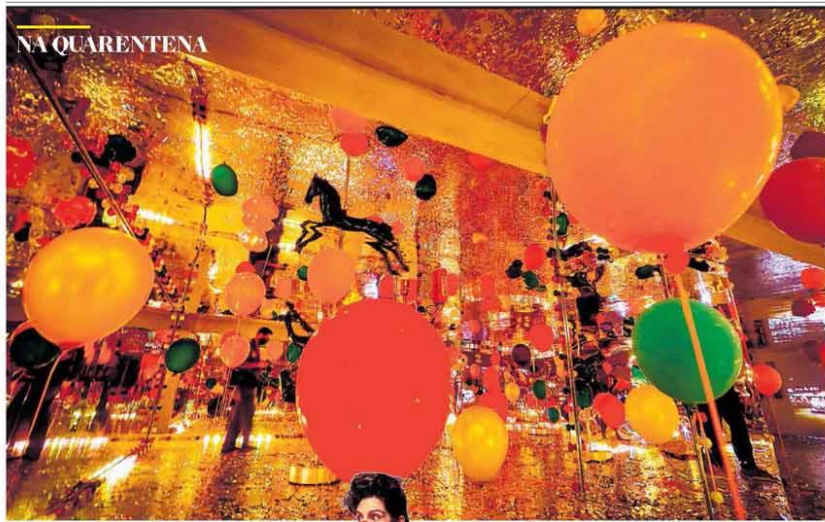
### ENTREVISTA

#### Afonso Celso Pastore, economista e ex-presidente do BC

"A percepção de risco de solvência do governo piorou e o mercado demanda um prêmio muito alto para comprar os papéis"

## Surto europeu ameaça recuperação econômica

O aumento de novos casos de covid-19 na Europa afeta o desempenho das bolsas, coloca em risco a recuperação da economia mundial em 2021 e pode prejudicar o Brasil, disseram economistas ao Estadão. Segundo eles, a perspectiva que os países em que esse aumento é mais preocupante, como França, Espanha e Reino Unido, estejam para 2021 parte das perdas registradas este ano. **ECONOMIA/PÁG. B5**



### ROTEIRO PARA O FIM DE SEMANA

Entre as atrações, mostra da paulistana Flávia Junqueira no reaberto Fox Santander. **PÁG. H7**



### 'O NOVO NORMAL' NOS PALCOS

Cia. Bendita Trupe estreia comédia. **PÁG. H7**

### DE VOLTA AOS CINEMAS

Roteiro das salas, horários e ocupação. **PÁG. H6**

## Ministro do STF afasta senador flagrado com dinheiro na cueca

O ministro do STF Luís Roberto Barroso determinou ontem o afastamento, por 90 dias, do senador Chico Rodrigues (DEM-RR), flagrado pela Polícia Federal com R\$ 33,1 mil dentro da cueca. A operação investiga desvio de recursos no combate do coronavírus. O presidente Jair Bolsonaro afastou Rodrigues do cargo de vice-líder do governo no Senado. **POLÍTICA/PÁG. A7**

## Polícia busca 21 criminosos soltos por Marco Aurélio

A Polícia Federal e as estaduais procuram pelo menos 20 criminosos que, como o traficante André do Rap, se beneficiaram de decisões do ministro Marco Aurélio Mello, do Supremo Tribunal Federal (STF), segundo levantamento feito pelo Estadão. **METRÓPOLE/PÁG. A10**

● Pleacar eletrônico no STF: 9 a 1. Por 9 a 1, o Plenário do STF definiu que André do Rap não teria direito à liberdade; venceu, Marco Aurélio Mello atacou Luiz Fux. **PÁG. A10**

### VOLKSWAGEN PRODUZIRÁ CAMINHÕES E ELÉTRICOS NO PAÍS

A Volkswagen Caminhões e Ônibus iniciará em março, na fábrica de Resende (RJ), a produção em série dos primeiros 100 caminhões elétricos e Delivery. Esses veículos serão entregues à Amazon e seus distribuidores, que pretendem comprar 1,6 mil unidades até 2023. **ECONOMIA/PÁG. B12**

## Biden bate recorde de arrecadação e tem US\$ 432 mi

A campanha de Joe Biden anunciou novo recorde de arrecadação em setembro: US\$ 36 milhões - contanto o valor recebido pelo Comitê Nacional Democrata e grupos políticos aliados. Com isso, Biden chegou à reta final da disputa com US\$ 432 milhões. Donald Trump não divulgou dados dos meses, mas vinha arrecadando bem menos. **INTERNACIONAL/PÁG. A8**

## Ofício do governo omite elo de 'espíões' com Abin

POLÍTICA / PÁG. A6	
● A pandemia no Brasil (levantamento do consórcio de imprensa)	
TOTAL DE MORTES	152.513
NOVOS REGISTROS DE MORTES EM 24H, ATÉ AS 20H DE ONTEM	734
MÉDIA MÓVEL DE MORTES (7 DIAS)	497
TOTAL DE TESTES POSITIVOS	5.170.986
NOVOS CASOS DETECTADOS EM 24H, ATÉ AS 20H DE ONTEM	29.498
TOTAL DE RECUPERADOS*	4.589.446

## Fernando Gabeira

O mundo tem saudades do Brasil, aberto à cooperação planetária, sem a raiva que o dominou. **ESPAÇO ABERTO/PÁG. A2**

## Celso Ming

Para FMI, reconstrução econômica pede novo Bretton Woods, a conferência pós-2ª Guerra. **ECONOMIA/PÁG. B2**

\*NÚMERO DE RECUPERADOS EM 24H, ATÉ AS 20H DE ONTEM.

### NOTAS & INFORMAÇÕES

#### O protagonismo do Congresso

Como ocorreu com a reforma da Previdência, o Legislativo pode levar adiante a reforma administrativa, enquanto o Executivo titubeia. **PÁG. A3**

#### Aparlhamento bolsonarista

TV Brasil é uma das estruturas de que o presidente se apossou. **PÁG. A3**

# FOLHA DE S.PAULO

DESDE 1921 ★★ UM JORNAL A SERVIÇO DA DEMOCRACIA

ANO 100 ★ Nº 33.434

SEXTA-FEIRA, 16 DE OUTUBRO DE 2020

R\$ 5,00

## Estados avançam em privatizações e concessões

Com a crise agravada pela pandemia, governos estaduais têm acelerado vendas de ativos e concessões. Só no BNDES há 18 projetos adiantados, com ao menos R\$ 150 bilhões em investimentos. A lista inclui de vendas de empresas de energia e gás a concessões de serviços de saneamento. Mercado A20

## ENTREVISTA Sidnei Piva

### Itapemirim quer chegar à aviação

Sidnei Piva, há quatro anos dono do grupo que ainda está em recuperação judicial, se prepara para lançar uma companhia aérea. 'A Itapemirim hoje, pela estrutura terrestre, já é a maior companhia aérea do Brasil', diz. Mercado A25

## Guedes corta extra de R\$ 21 mil por mês de Marinho

Mercado A22

Divulgado



Cena de 'Os 7 de Chicago'

## Ilustrada B11

Filme recria caso que marcou contracultura da década de 1960

## Esporte B9

'Bolha' da NBA contra o coronavírus é um sucesso difícil de ser repetido

## Guia B16

São Paulo retoma circuito cultural com museus agitados e teatros tímidos

## Pandemia no Brasil

Brasil Total Otimista Variação\*  
Casos 5,2 mil 20,2 mil -25,3%  
Óbitos 152,5 mil 497 -28,8%

Gráfico

Desacelerado

Estratégia de pandemia

Acelerado

Estável

Desacelerado

Reduzido



Dados das 20h de 15 out  
\*Média móvel de 7 dias  
\*\*Em relação 14 dias

# Barroso afasta senador pego com dinheiro dentro da cueca

Bolsonaro busca se dissociar de Chico Rodrigues, mas diz que ex-vice-líder do governo tinha prestígio



Bolsonaro e Rodrigues, em foto de 2019 Marcos Corêa/Divulgação PR

Flagrado com dinheiro na cueca em operação contra desvio de recursos de combate à Covid-19, o senador Chico Rodrigues (DEM-RR) foi afastado do cargo pelo ministro Luís Roberto Barroso, do STF, e levou constrangimento ao presidente Jair Bolsonaro devido à sua proximidade com o Planalto. Vice-líder do governo, Rodrigues deixou o posto após ser alvo da Polícia Federal.

Em Roraima, na quarta (14), agentes o flagraram com R\$ 33.150 escondidos na cueca, sendo R\$ 15 mil em maços entre as nádegas. Bolsonaro procurou se desvincular do senador que um dia descreveu como 'quase uma união estável'. Disse que Rodrigues 'gozava do prestígio, do carinho de quase todos', mas que o episódio não tem a ver com suspeitas no governo.

Após ação policial, Barroso determinou o afastamento de Rodrigues por 90 dias e enviou o caso para deliberação do Senado, a quem cabe manter ou reverter a decisão. Recusou sua prisão.

O senador afirmou que a verdade 'virá à tona' e fez elogios a Bolsonaro. Poder A4

**PAINEL**  
Senadores veem ação precipitada de ministro A4

## STF mantém revogação de habeas corpus a André do Rap

Por 9 a 1, o Supremo manteve a revogação do habeas corpus concedido a André do Rap, um dos chefes do PCC. Houve bate-boca entre Marco Aurélio e Luiz Fux, que casou a decisão do colega de liberar o traficante. cotidiano B4

“

Só falta essa, Vossa Excelência querer me ensinar como votar. Só falta essa. Eu não imaginava que seu autoritarismo chegasse a tanto

Marco Aurélio Mello, após Luiz Fux fazer comentários na sequência de seu voto, contrário à revogação do habeas corpus a André do Rap

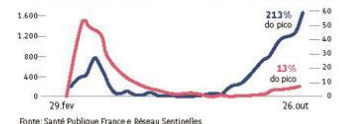
Peço à Vossa Excelência, em nome da nossa amizade antiga (...), que tenhamos dissenso, mas nunca discórdia

Luiz Fux, em resposta a Marco Aurélio

## Número de óbitos não segue alta de casos

França Semana até 12 out

Casos positivos por milhão de habitantes na semana Nº de óbitos por milhão de habitantes na semana



Fonte: Santé Publique France e Réseau Sentinelles

## Tendência na Europa sugere ao país como lidar com vírus

Mortes e hospitalizações causadas atualmente pela Covid-19 na Europa seguem muito abaixo dos picos registrados nos piores momentos da pandemia. A maior parte dos óbitos agora concentra-se em regiões inicialmente poupadas, assim como se dá o inverso.

O fato reforça a importância da imunização coletiva na contenção da doença. No Brasil, onde a epidemia chegou depois, a tendência europeia pode sugerir o que vem adiante — como tratar reabertura e isolamento nas áreas até agora mais ou menos afetadas. Saúde B1

## ANIMAIS LOTAM CENTRO DE REABILITAÇÃO EM JUNDIAÍ

Vítima de atropelamento, a jaguatirica Maria Bonita não tem uma das patas; sede da Associação Mata Ciliar, no interior paulista, recebe cerca de 25 bichos acidentados por dia cotidiano B5



Eduardo Knapp/Folha press

## EDITORIAIS A2

### Acabou a corrupção?

Sobre senador flagrado com dinheiro na cueca.

### Renda com foco

Acerca de novo programa de transferência de renda.

## AUDIÊNCIA/MÊS

PÁGINAS VISTAS 167.623.478  
VISITANTES ÚNICOS 30.539.483

ISSN 1668-8776  
3 3 3 4 3 4  
9 7 7 1 4 1 4 5 7 2 0 8 3 1

## Redes cerceiam reportagem contra Joe Biden

Facebook e Twitter limitaram o alcance de reportagem do New York Post contra Joe Biden, sobre suposta negociação entre o filho dele, Hunter, e uma empresária ucraniana. As redes citaram risco de desinformação e uso de material hackeado. Mundo A16

## Análise P. Ortellado

Ação pode ser qualificada como censura privada A16

## Planalto suspeita de boicote contra Russomanno

Auxiliares de Jair Bolsonaro veem desorganização na campanha de Celso Russomanno à Prefeitura de São Paulo, que conta com o apoio do Planalto, e suspeitam de má vontade do partido dele (Republicanos). O comando da legenda negra. Poder A9

## Citões à periferia paulista triplicam nos planos de governo A15

## Esposa do vice de Covas o acusou de agressão e ameaça

Candidato a vice-prefeito na chapa de Bruno Covas (PSDB), o vereador Ricardo Nunes (MDB) foi acusado em zona de violência doméstica, ameaça e injúria pela esposa, Regina Carnovale, com quem continua casado. Nunes e ela negam as agressões. Poder A10

## Arthur do Val usou assessores em campanha

Contrariando o discurso de não usar dinheiro público na corrida à prefeitura paulistana, o deputado estadual Arthur do Val contou com apoio de ao menos três assessores da Assembleia. A ação é voluntária e fora do expediente, diz a campanha. Poder A11

## Exército gasta R\$ 8,9 milhões em exercício militar na Amazônia A19

## Portugal intercepta jatinho brasileiro com R\$ 40 mil em cocaína B4



**Gripe espanhola:** Livro de Heloisa Starling e Lilia Schwarcz mostra impacto da epidemia em 1918 e suas lições para o Brasil de hoje SEGUNDO CADENERO

**Rio Show:** A volta dos espetáculos musicais, com regras específicas

# O GLOBO



*Irineu Marinho* (1876-1925) — (1904-2003) *Roberto Marinho* RIO DE JANEIRO, SEXTA-FEIRA, 16 DE OUTUBRO DE 2020 ANO XCIV - Nº 31.847 - PREÇO DESTE EXEMPLAR NO RJ - R\$ 5,00 2ª EDIÇÃO

**CORRUPÇÃO**

## STF suspende senador que escondeu dinheiro na cueca

Bolsonaro se afasta de envolvido em escândalo, que deixa vice-liderança do governo

Alvo de uma operação da Polícia Federal na quarta-feira em que foi flagrado com R\$ 33 mil em casa escondidos na cueca, o senador Cláudio Rodrigues (DEM-RR) teve seu mandato sus-

penso por 90 dias pelo ministro Luís Roberto Barroso, do STF. A decisão será submetida ao Senado. Ele é investigado em ação que apura desvios na pandemia, mas se diz inocente. Pres-

ionado, Rodrigues se afastou da vice-liderança do governo na Casa. O presidente Bolsonaro, que ontem buscou se isolar do aliado, disse que a operação da PF foi "ator de orgulho". PÁGINAS 4 e 6

## Diante da crise, planos de saúde mais baratos

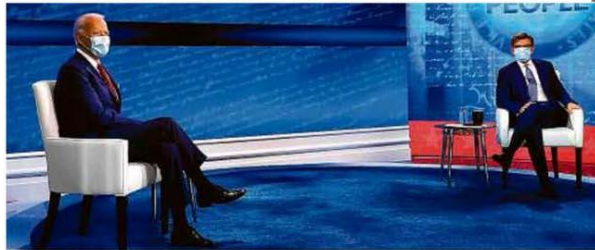
Para repor a perda de clientes que vem desde 2014, e acentuada pela pandemia, empresas passaram a oferecer planos de saúde mais baratos e a inovar seu cardápio de produtos, como é o caso de uma assinatura mensal que dá direito a desconto em consultas e exames. PÁGINA 21

**DISPUTA ELEITORAL NOS EUA**

## Trump x Biden: duelo à distância



Em vez de debate, os candidatos à Presidência dos Estados Unidos responderam a perguntas na noite de ontem, cada qual em um canal de TV. Em diálogo tenso com a jornalista Savannah Guthrie, marcado por interrupções mútuas, o presidente Trump foi questionado sobre a Covid-19, os supremacistas brancos e a teoria da conspiração QAnon. Já seu oponente, o democrata Joe Biden, usando máscara, evitou falar sobre a expansão da Suprema Corte. PÁGINA 20



## Ibope: Paes amplia vantagem; em SP, disputa se acirra

A primeira pesquisa após o horário eleitoral mostra que Eduardo Paes (DEM) aumentou a distância para Crivella (Republicanos) na disputa pela prefeitura do Rio. Em São Paulo, Bruno Covas (FSD) está em empate técnico com Ruy Ferverian (Republicanos). PÁGINAS 9 e 10

**ELEIÇÕES 2020 ENTREVISTAS**

## Boulos promete passe livre no transporte, mas não tem cálculo do custo

Candidato do PSOL a prefeito de São Paulo, Guilherme Boulos diz que passe livre no transporte para desempregados e estudantes é "questão de princípio". Ele admite não ter cálculo completo sobre o custo da medida. Para Boulos, que elogia lei que limita valor de aluguéis, moradia popular é prioridade. PÁGINA 8

## Candidatos em Roraima são acusados de xenofobia

Imigrantes venezuelanos denunciaram ao MP os candidatos do PSL e do PP a prefeito de Boa Vista por incitarem a discriminação. PÁGINA 12

### STF retoma sessão e mantém prisão de traficante por 9 votos a 1

Em sessão marcada pelo embate entre Marco Aurelio Mello e Luiz Fux, STF fecha em 9 a 1 por manter prisão de André do Rap. PÁGINA 6

**MERVAL PEREIRA**  
*A que ponto chegamos. Onde acabaremos?*  
PÁGINA 2

**FLÁVIA OLIVEIRA**  
*Governo ignora a urgência da fome*  
PÁGINA 3

**MÍRIAM LEITÃO**  
*Cueca é prova da corrupção presente*  
PÁGINA 22

**PEDRO DORIA**  
*Face e Twitter agiram certo no caso Biden*  
PÁGINA 28

## Fla empata e desperdiça chance de liderar

Em meio a uma maratona de jogos, com sua segunda partida em 48 horas, o Flamengo empatou em 1 a 1 com o Bragantino no Maracanã e deixou escapar a chance de assumir a ponta do Campeonato Brasileiro, mantendo-se na terceira colocação, atrás de Atlético-MG e Internacional. Claudinho abriu o placar, e Lincoln igualou para o rubro-negro. PÁGINA 32



## Piora de doenças crônicas criou 'tempestade perfeita' para Covid

Pesquisa relaciona o agravamento da saúde da população mundial nas últimas três décadas ao impacto do coronavírus. PÁGINA 14

**CONTAGIADOS 1.170.996** **MORTOS 152.513**  
FORNE: CONTÓRIOS DE VIGILÂNCIA DE SAÚDE



**BH.** Quem sofreu com as tragédias da chuva já está apreensivo a cada mudança de tempo

# Período chuvoso ainda tem dez obras em andamento em córregos

Prefeitura ainda não tem data para novos treinamentos contra alagamentos

## ■ RAQUEL PENAFORTE

■ “Todo dia que chove, a gente fica com medo de dormir. É muita aflição pensar que a nossa casa pode desabar em cima de nós. Agora, é rezar para não viver tudo aquilo outra vez”. O relato é da líder comunitária Rafaela Costa Batista, 30, moradora do bairro Jardim Alvorada, na região Noroeste de Belo Horizonte. Ela é uma das 12.201 pessoas de Minas Gerais que, no último período chuvoso, perderam a casa depois de um temporal. O medo dela vem aumentando desde que começou o período chuvoso neste mês, previsto para terminar em março de 2021.

Os moradores querem mais ações e todo ano é a mesma cobrança. A Prefeitura de Belo Horizonte (PBH) esclareceu que já vem tomando medidas preventivas para evitar novas tragédias, como a conclusão de obras em bacias e córregos da cidade, além de trabalhar na conscientização dos moradores das áreas de risco. Segundo a PBH, dez obras em bacias e



**Lembranças.** No Bairro Jardim Alvorada, na região Noroeste, sofreu com enchentes e desabamentos

córregos ainda estão em andamento em 2020 – nove foram concluídas.

Quem viveu de perto os desastres da chuva afirma não ver nada acontecendo. “Não posso dizer que está do mesmo jeito, pois está pior. Passou tanto tempo e nada aconteceu. Ninguém veio aqui arrumar as ruas, os postes que caíram. Tudo que foi

feito foi por iniciativa dos moradores”, relatou Rafaela.

Questionada pela reportagem, a prefeitura esclareceu que todas as famílias afetadas no bairro Jardim Alvorada e que tiveram que deixar as residências foram prontamente atendidas e encaminhadas para o Programa Bolsa Moradia e Abono Pecuniário. Ainda segundo a nota, uma equipe da Companhia Urbanizadora e de Habitação de Belo Horizonte (Urbel) atua diariamente na região, onde estão sendo definidas as intervenções que serão realizadas por meio do Programa Estrutural em Áreas de Risco.

**PRECAUÇÃO.** Como medida de conscientização dos riscos de alagamento, no último dia 3, por exemplo, as Defesas Cívicas de Contagem e Belo Horizonte realizaram um treinamento com agentes de segurança e moradores da Vila São Paulo, que fica na divisa das duas cidades.

No treinamento, as vias foram fechadas para simular protocolos acionados em caso de risco de transbordamento do ribeirão Arrudas. Segundo a Prefeitura de Belo Horizonte, outros simulados do mesmo tipo estão sendo programados, mas ainda não há definição de datas nem novos locais.

## Obras inacabadas

- **Ribeirão do Onça**  
avenida Cristiano Machado
- **Córrego Bonsucesso**  
(Barreiro/ três intervenções)
- **Bacia das Indústrias**  
(avenida Teresa Cristina)
- **Córregos Olaria e Jatobá**  
(Barreiro)
- **Córrego do Nado** (Venda Nova)
- **Caixa de captação**  
(Vilarinho)
- **Desassoreamento de barragem** (Pampulha)

## Seminário com cidades

■ No Estado, a Defesa Civil apontou ontem que já vem realizando uma série de ações preventivas em parceria com outros órgãos para tentar minimizar os estragos do período chuvoso.

“Entre as ações, realizamos um seminário, no início deste mês, com 555 municípios para que pudéssemos mapear as áreas de risco de cada um e fazer a interlocução entre a Defesa Civil Estadual e as Defesas Cívicas municipais”, explicou ontem o superintendente de gestão de desastres da Defesa Civil Estadual, Eduardo Lopes. (RP)

## Mortes

# 74

**pessoas morreram** em MG; 14 em BH, entre outubro de 2019 e março de 2020

# Estados avançam em programas de privatizações e concessões

BNDES prevê 18 leilões até 2022, com ao menos R\$ 180 bilhões em investimentos

Nicola Pamplona  
e Bruna Narcizo

**RIO DE JANEIRO ESÃO PAULO** Com a crise financeira agravada pela pandemia, governos estaduais têm acelerado vendas de ativos e concessões. Só no BNDES (Banco Nacional de Desenvolvimento Econômico e Social) há 18 projetos adiantados, com previsão de investimentos de R\$ 180 bilhões.

A lista inclui desde venda de empresas de energia e gás canalizado a concessões de serviços de saneamento, operação de presídios e cerca de 8.000 quilômetros de estradas, e projetos estaduais sem parceria com o banco, como a Copel Telecom, do Paraná.

As expectativas aumentaram após o leilão de concessão do saneamento da região metropolitana de Maceió, que rendeu R\$ 2 bilhões em outorga, algo de 13,182% ante o preço mínimo e quatro vezes o que o governo do estado esperava.

O setor de saneamento lidera a lista de projetos estaduais em curso no BNDES, com seis leilões previstos e perspectiva de investimentos de R\$ 55 bilhões. Um será no dia 20, para o serviço em Cariacica (ES), que já recebeu sete propostas.

No primeiro trimestre de 2021, o BNDES prevê a oferta dos quatro blocos que compõem a Cedae (Companhia Estadual de Água e Esgoto), do Rio de Janeiro, e da concessão do serviço de saneamento no Amapá. Ainda estão nessa lista concessões no Rio Grande do Sul, Acre e Ceará.

“O resultado de Alagoas mostra que o marco regulatório fez diferença e que uma boa modelagem é fundamental”, diz o diretor de Infraestrutura, Concessões e PPPs (Parcerias Público-Privadas) do BNDES, Fábio Abrahão.

A parceria com estados no preparo de privatizações e concessões é uma das atividades do “banco de serviços”, um dos focos da gestão atual do BNDES. Além de ajudar a elaborar os projetos, o banco ainda interage com possíveis

compradores e financiadores. “A maior parte dos estados não precisa de um time especializado, não tem escala que justifique um time permanente [para concessões ou privatizações]”, diz Abrahão, que espera maior demanda dos estados.

O governo gaúcho é hoje um dos principais clientes. Além do saneamento, quer conceder rodovias, presídios e privatizar companhias de energia e de gás canalizado.

A carteira do estado inclui ainda, em fase preliminar, a privatização de ativos imobiliários e da CRM (Companhia Riograndense de Mineração) e a concessão de parques ambientais e do Cais Mauá.

Um dos estados em pior situação financeira, o Rio Grande do Sul quer usar os recursos arrecadados no pagamento de financiamentos e despesas de capital. Mas o governo diz que não há metas de arrecadação, alegando que a prioridade são os investimentos.

Fora da lista do BNDES, o Paraná agendou para 9 de novembro a primeira privatização da gestão Ratinho Júnior (PSD-PR), da Copel Telecom.

O pregão fixou valor mínimo de R\$ 1,4 bilhão. Para o presidente da companhia, Wendell Oliveira, o momento não poderia ser melhor.

“As telecomunicações não estão na categoria de máscara e álcool gel, mas estão em alta. O momento é super oportuno. E a alta do dólar ainda faz o valor da empresa ser 30% a 40% mais barato do que um ano atrás para investidores estrangeiros”, afirma.

Já Minas Gerais pretende privatizar a empresa de energia Cemig e a Codemig, sócia da produtora de níobio CBMM (Companhia Brasileira de Metalurgia e Mineração).

Com as dificuldades políticas para aprovar a primeira, o governo Romeu Zema (Novo) prioriza a segunda.

A Cemig diz que, mesmo que o Legislativo autorizasse a venda hoje, o leilão só poderia ser realizado a partir do final do segundo semestre de 2021.

“Em tese, como os preços ainda estão baixos, pode ser um momento ruim. Mas a concessão em Alagoas mostra que os investidores também estão olhando o longo prazo no momento do investimento, então há que se balancear isso. É o que estamos fazendo”, disse a empresa.

Em São Paulo, o governo João Doria (PSDB) chegou a anunciar que privatizaria a empresa de saneamento Sabesp após a aprovação do marco regulatório, mas decidiu fazer primeiro uma capitaliza-

“O resultado de Alagoas mostra que o marco regulatório fez diferença e que uma boa modelagem é fundamental”

Fábio Abrahão  
diretor de  
Infraestrutura,  
Concessões e  
PPPs do  
BNDES

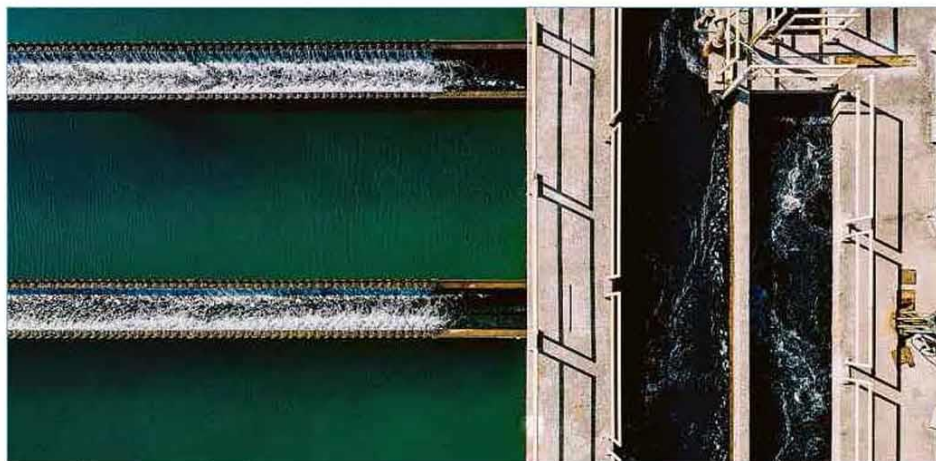
ção da companhia, que hoje é candidata a disputar concessões em outros estados.

O mercado alerta, porém, para os riscos de insegurança jurídica criados pela liminar que permitiu à Prefeitura do Rio encampar a concessão da Linha Amarela, operada pela Invepar, concedida pelo ministro do STJ (Superior Tribunal de Justiça) Humberto Martins em setembro.

A decisão ocorre em meio a uma briga jurídica entre as partes, envolvendo o pedido de reequilíbrio econômico e financeiro da concessão, iniciada em 1994. Em novembro de 2019, a prefeitura quebrou as cancelas e rescindiu unilateralmente o contrato, acusando a concessionária de pagamento de propina e superfaturamento em obras.

Além de perder a concessão, iniciada em 1994, a Invepar pode sofrer vencimento antecipado de suas dívidas não só relativas à Linha Amarela, mas também do Metrô do Rio.

Abrahão, do BNDES, questiona ainda a cultura de liminares contra os leilões, como ocorreu no caso da concessão do saneamento de Alagoas, como resultado de um “mercado fechado”. “Quanto mais o mercado vai abrindo, mais essa turma vai se sentindo fora do ambiente.”



Estação de tratamento da Sabesp em SP Gabriel Cabral - 26 Jul 19 / Folhapress

# Concessão de saneamento é feita para universalizar os serviços, não para arrecadar

## OPINIÃO

Paulo Hartung  
e Jerson Kelman

Economista e ex-governador do Espírito Santo; ex-presidente da Sabesp e primeiro diretor da Agência das Águas, é professor da COPPE-UFRJ

O bom resultado da licitação para prestação do serviço de saneamento na RMM (Região Metropolitana de Macaé), onde dois terços da população ainda não têm acesso a coleta de esgoto, foi animador para todos que querem uma vida melhor para as camadas mais humildes da população.

A empresa privada ganhadora do certame se comprometeu a resolver o problema no prazo de 16 anos e também a pagar R\$ 2 bilhões pelo contrato de concessão. A modelagem do processo competitivo foi feita pelo BNDES, ainda antes da aprovação do novo marco legal do saneamento (Lei 14.026/2020), porém com base nos mesmos conceitos.

O sucesso da licitação sinaliza que finalmente o setor vai destravar, graças à crescente participação da iniciativa privada. Ponto para a população, que finalmente se livrará de uma realidade inaceitável no tocante ao saneamento básico, um desmando

secular que compromete gravemente a saúde de milhões e destrói recursos naturais, entre outros.

Antes da aprovação da lei, os municípios que não quisessem prestar diretamente o serviço podiam celebrar contratos, sem concorrência, com as companhias estaduais. Agora, a licitação é obrigatória, de preferência abrangendo um grupo de municípios vizinhos, com vistas a uma economia de escala, como é o caso da RMM.

Para que esse processo siga virtuoso, é preciso que os contratos de concessão fixem metas para acesso universal aos serviços que sejam facilmente monitoráveis. Por exemplo, a definição da porcentagem de domicílios de cada bairro que, no prazo de 10 anos, estarão conectados à rede de esgotos.

Metas que sirvam apenas para embarçar as concessionárias, obstaculizando a busca das melhores soluções, não devem constar dos contratos. Nessa direção, não faz sentido exigir que a concessionária adote uma particular tecnologia ou projeto de engenharia.

O que importa é prestar o serviço adequadamente.

As metas devem ser escolhidas após análise do impac-

to tarifário, para cima ou para baixo, resultante das previsões do fluxo de investimentos e dos ganhos de produtividade. Nessa análise, é preciso levar em conta que coleta-tratamento de esgoto beneficia a coletividade, assim como iluminação pública, enquanto abastecimento de água beneficia exclusivamente o núcleo familiar, como é o caso de TV a cabo.

Como a disposição a pagar por bens públicos é menor do que por bens privados, é preciso que haja estreita colaboração entre o prestador do serviço e a administração pública, que tem a responsabilidade de zelar pelo interesse coletivo.

Ou seja, o contrato de concessão deve alinhar, ao longo de todo o prazo de concessão, os interesses da concessionária com as administrações estadual e municipais, porque há muitas atividades complementares ao saneamento que só podem ser executadas pelo poder público. Por exemplo, multar quem não faça uso da rede de coleta de esgoto, remanejar edificações em assentamentos irregulares para a passagem de tubulações ou reprimir o furto de água.

Como essas atividades exigem recursos, é razoável que

[...]

o contrato de concessão deve alinhar, ao longo de todo o prazo de concessão, os interesses da concessionária com as administrações estadual e municipais, porque há muitas atividades complementares ao saneamento que só podem ser executadas pelo poder público

um percentual da arrecadação da concessionária seja contratualmente destinado para a administração pública, criando-se um fluxo contínuo ao longo da concessão.

Certamente, é solução melhor do que pagar à vista ao governo de plantão. Primeiro, porque a contribuição em prestações oferece menor risco ao empreendedor do que pagamento à vista. E quanto menor o risco, maior é a competição e menor é a tarifa. Segundo, porque o pagamento à vista não assegura que as futuras administrações públicas também exercerão as atividades complementares ao saneamento.

Conclusão: em lugares que ainda não contam com universalização desse serviço, é preferível sagrar vencedor quem oferecer a menor tarifa e não o maior pagamento. Esse é o caso de Cariacica, no Espírito Santo, cuja licitação, também modelada pelo BNDES, deve ocorrer nos próximos dias.

Ao destravar o saneamento, o Brasil começa a se libertar de uma mancha histórica em sua trajetória, a de negar à maioria dos seus cidadãos o acesso à dignidade sanitária no seu cotidiano. Nossa nação, enfim, passa a enfrentar com efetividade o vergonhoso exílio medieval que, de geração em geração, vem sendo imposto a milhões e milhões de brasileiros mantidos à margem da conquista civilizatória que é o saneamento básico.

## Projetos em parceria com BNDES

Estimativa de leilão, por trimestre

4º tri. 2020  
**CEB (Companhia Energética de Brasília)**  
Energia elétrica  
Categoria Privatização  
Etapa atual Elaboração de projeto

**Saneamento em Cariacica (ES)**  
Saneamento  
Categoria Concessão e PPP  
Etapa atual Leilão

1º tri. 2021  
**CEA (Companhia de Eletricidade do Amapá)**  
Energia elétrica  
Categoria Privatização  
Etapa atual Elaboração de projeto

**Saneamento no Acre**  
Saneamento  
Categoria Concessão e PPP  
Etapa atual Preparação do leilão

**Saneamento no Amapá**  
Saneamento  
Categoria Concessão e PPP  
Etapa atual Preparação do leilão

**CEEE-D (distribuidora de energia do Rio Grande do Sul)**  
Energia elétrica  
Categoria Privatização  
Etapa atual Preparação do leilão

**Saneamento no Rio de Janeiro**  
Saneamento  
Categoria Concessão e PPP  
Etapa atual Preparação do leilão

2º tri. 2021  
**CEEE-GT (geradora de energia do Rio Grande do Sul)**  
Energia elétrica  
Categoria Privatização  
Etapa atual Elaboração de projeto

3º tri. 2021  
**MS Gas (distribuidora de gás canalizado do Mato Grosso do Sul)**  
Gás natural  
Categoria Privatização  
Etapa atual Elaboração de projeto

**Saneamento no Rio Grande do Sul**  
Saneamento  
Categoria Concessão e PPP  
Etapa atual Elaboração de projeto

**Rodovias no Rio**  
Rodovias  
Categoria Concessão e PPP  
Etapa atual Elaboração de projeto

**Saneamento no Ceará**  
Saneamento  
Categoria Concessão e PPP  
Etapa atual Preparação do leilão

4º tri. 2021  
**Rodovias em Minas Gerais**  
Rodovias  
Categoria Concessão e PPP  
Etapa atual Elaboração de projeto

1º tri. 2022  
**Rodovias de Pernambuco**  
Rodovias  
Categoria Concessão e PPP  
Etapa atual Elaboração de projeto

**Sulgás (distribuidora de gás canalizado do Rio Grande do Sul)**  
Gás natural  
Categoria Privatização  
Etapa atual Elaboração de projeto

2º tri. 2022  
**Bilhetagem do transporte intermunicipal do Rio de Janeiro**  
Mobilidade urbana  
Categoria Concessão e PPP  
Etapa atual Elaboração do projeto

**Presídios do Rio Grande do Sul**  
Segurança pública  
Categoria Concessão e PPP  
Etapa atual Elaboração do projeto

3º tri. 2022  
**Rodovias do Rio Grande do Sul**  
Rodovias  
Categoria Concessão e PPP  
Etapa atual Elaboração de projeto

## DECRETO NE Nº 441, DE 15 DE OUTUBRO DE 2020.

Declara de utilidade pública, para desapropriação de pleno domínio ou constituição de servidão, terrenos necessários à construção do Rodoanel da Região Metropolitana de Belo Horizonte.

O GOVERNADOR DO ESTADO DE MINAS GERAIS, no uso de atribuição que lhe confere o inciso VII do art. 90 da Constituição do Estado e tendo em vista o disposto na alínea “i” do art. 5º e no art. 40, ambos do Decreto-lei Federal nº 3.365, de 21 de junho de 1941, DECRETA:

Art. 1º – Ficam declarados de utilidade pública, para desapropriação de pleno domínio ou constituição de servidão, os terrenos com área total de 51.076.116,0 m<sup>2</sup>, na Região Metropolitana de Belo Horizonte, conforme as descrições perimétricas constantes no Anexo. Parágrafo único – A declaração de utilidade pública de que trata o caput se estende às benfeitorias porventura existentes nos terrenos.

Art. 2º – Os terrenos descritos no Anexo são necessários para a construção do Rodoanel da Região Metropolitana de Belo Horizonte.

Art. 3º – A concessionária a ser contratada por meio de processo licitatório, para a construção do Rodoanel da Região Metropolitana de Belo Horizonte, sob a fiscalização do Departamento de Edificações e Estradas de Rodagem do Estado de Minas Gerais – DER-MG, fica autorizada a promover a desapropriação de pleno domínio ou a constituição de servidão dos terrenos descritos no Anexo e eventuais benfeitorias, podendo, para efeito de imissão na posse, alegar a urgência de que trata o art. 15 do Decreto-lei Federal nº 3.365, de 21 de junho de 1941.

Art. 4º – As despesas decorrentes da execução da desapropriação ou da constituição de servidão de que trata este decreto correrão por conta de recursos próprios da Concessionária do Rodoanel da Região Metropolitana de Belo Horizonte a ser contratada, nos termos do respectivo Contrato de Concessão.

Art. 5º – Este decreto entra em vigor na data de sua publicação.

Belo Horizonte, aos 15 de outubro de 2020; 232º da Inconfidência Mineira e 199º da Independência do Brasil.

ROMEU ZEMA NETO

ANEXO (a que se refere o art. 1º do Decreto NE nº 441, de 15 de outubro de 2020) As descrições perimétricas dos terrenos de que trata este decreto são as seguintes: I – bloco 1: inicia-se a descrição deste perímetro no vértice P1 de coordenadas N 7.795.426,7719 e E 589.728,2441, segue com azimute de 283°02'17,68" e distância de 316,415m, até o vértice P2; de coordenadas N 7.795.498,1555 e E 589.419,9864, segue com azimute de 187°27'1,24" e distância de 120,835m até o vértice P3; de coordenadas N 7.795.378,3410 e E 589.404,3182, segue com azimute de 174°07'11,18" e distância de 108,807m até o vértice P4; de coordenadas N 7.795.270,1060 e E 589.415,4654, segue com azimute de 159°00'52,93" e distância de 138,284m até o vértice P5; de coordenadas N 7.795.140,9941 e E 589.464,9889, segue com azimute de 172°52'19,47" e distância de 104,242m até o vértice P6; de coordenadas N 7.795.037,5577 e E 589.477,9237, segue com azimute de 199°07'41,91" e distância de

439,853m até o vértice P7; de coordenadas N 7.794.621,9906 e E 589.333,7908, segue com azimute de  $177^{\circ}46'30,76''$  e distância de 110,577m até o vértice P8; de coordenadas N 7.794.511,4967 e E 589.338,0834, segue com azimute de  $162^{\circ}17'23,51''$  e distância de 109,658m até o vértice P9; de coordenadas N 7.794.407,0353 e E 589.371,4416, segue com azimute de  $147^{\circ}04'40,76''$  e distância de 435,424m até o vértice P10; de coordenadas N 7.794.041,5357 e E 589.608,0931, segue com azimute de  $201^{\circ}59'30,68''$  e distância de 318,021m até o vértice P11; de coordenadas N 7.793.746,6548 e E 589.489,0023, segue com azimute de  $198^{\circ}32'7,20''$  e distância de 549,039m até o vértice P12; de coordenadas N 7.793.226,0957 e E 589.314,4686, segue com azimute de  $190^{\circ}11'31,37''$  e distância de 495,921m até o vértice P13; de coordenadas N 7.792.737,9998 e E 589.226,7162, segue com azimute de  $98^{\circ}51'28,65''$  e distância de 330,272m até o vértice P14; de coordenadas N 7.792.687,1427 e E 589.553,0494, segue com azimute de  $8^{\circ}51'28,65''$  e distância de 461,749m até o vértice P15; de coordenadas N 7.793.143,3850 e E 589.624,1520, segue com azimute de  $96^{\circ}17'31,35''$  e distância de 394,642m até o vértice P16; de coordenadas N 7.793.100,1337 e E 590.016,4168, segue com azimute de  $295^{\circ}15'3,78''$  e distância de 21,828m até o vértice P17; de coordenadas N 7.793.109,4450 e E 589.996,6750, segue com azimute de  $284^{\circ}36'31,41''$  e distância de 80,970m até o vértice P18; de coordenadas N 7.793.129,8670 e E 589.918,3224, segue com azimute de  $316^{\circ}29'12,08''$  e distância de 166,658m até o vértice P19; de coordenadas N 7.793.250,7300 e E 589.803,5744, segue com azimute de  $333^{\circ}04'56,43''$  e distância de 160,598m até o vértice P20; de coordenadas N 7.793.393,9284 e E 589.730,8702, segue com azimute de  $12^{\circ}10'40,74''$  e distância de 64,699m até o vértice P21; de coordenadas N 7.793.457,1712 e E 589.744,5183, segue com azimute de  $12^{\circ}53'3,60''$  e distância de 133,840m até o vértice P22; de coordenadas N 7.793.587,6417 e E 589.774,3625, segue com azimute de  $23^{\circ}35'47,96''$  e distância de 155,541m até o vértice P23; de coordenadas N 7.793.730,1776 e E 589.836,6250, segue com azimute de  $28^{\circ}58'3,78''$  e distância de 140,263m até o vértice P24; de coordenadas N 7.793.852,8923 e E 589.904,5565, segue com azimute de  $11^{\circ}31'14,44''$  e distância de 162,706m, até o vértice P25; de coordenadas N 7.794.012,3206 e E 589.937,0525, segue com azimute de  $350^{\circ}54'44,24''$  e distância de 164,216m até o vértice P26; de coordenadas N 7.794.174,4756 e E 589.911,1151, segue com azimute de  $325^{\circ}47'12,92''$  e distância de 423,782m, até o vértice P27; de coordenadas N 7.794.524,9231 e E 589.672,8343, segue com azimute de  $357^{\circ}35'8,40''$  e distância de 115,302m até o vértice P28; de coordenadas N 7.794.640,1231 e E 589.667,9771, segue com azimute de  $21^{\circ}01'36,78''$  e distância de 265,749m até o vértice P29; de coordenadas N 7.794.888,1768 e E 589.763,3296, segue com azimute de  $14^{\circ}25'21,43''$  e distância de 169,184m até o vértice P30; de coordenadas N 7.795.052,0292 e E 589.805,4687, segue com azimute de  $355^{\circ}24'5,37''$  e distância de 109,798m, até o vértice P31; de coordenadas N 7.795.161,4740 e E 589.796,6658, segue com azimute de  $339^{\circ}09'54,38''$  e distância de 187,912m até o vértice P32; de coordenadas N 7.795.337,0984 e E 589.729,8300, segue com azimute de  $358^{\circ}59'12,61''$  e distância de 89,687m até o vértice P1; perfazendo uma área de 984.857 m<sup>2</sup> (novecentos e oitenta e quatro mil oitocentos e cinquenta e sete metros quadrados); II – bloco 2: inicia-se a descrição deste perímetro no vértice P1 de coordenadas N 7.795.498,1555 e E 589.419,9864, segue com azimute de  $103^{\circ}02'17,68''$  e distância de 316,415m até o vértice P2; de coordenadas N 7.795.426,7719 e E 589.728,2441, segue com azimute de  $15^{\circ}56'29,43''$  e distância de 535,903m até o vértice P3; de coordenadas N 7.795.942,0656 e E 589.875,4331, segue com azimute de  $73^{\circ}19'58,73''$  e distância de 263,239m até o vértice P4; de coordenadas N 7.796.017,5648 e E

590.127,6125, segue com azimute de  $342^{\circ}56'41,98''$  e distância de 152,929m até o vértice P5; de coordenadas N 7.796.163,7684 e E 590.082,7600, segue com azimute de  $39^{\circ}53'40,58''$  e distância de 387,390m até o vértice P6; de coordenadas N 7.796.460,9837 e E 590.331,2230, segue com azimute de  $31^{\circ}43'13,01''$  e distância de 741,045m até o vértice P7; de coordenadas N 7.797.091,3355 e E 590.720,8445, segue com azimute de  $10^{\circ}36'22,41''$  e distância de 505,341m até o vértice P8; de coordenadas N 7.797.588,0432 e E 590.813,8567, segue com azimute de  $64^{\circ}07'47,29''$  e distância de 828,888m até o vértice P9; de coordenadas N 7.797.949,7150 e E 591.559,6773, segue com azimute de  $42^{\circ}03'0,51''$  e distância de 766,803m até o vértice P10; de coordenadas N 7.798.519,1117 e E 592.073,2674, segue com azimute de  $73^{\circ}19'23,34''$  e distância de 211,079m até o vértice P11; de coordenadas N 7.798.579,6859 e E 592.275,4683, segue com azimute de  $82^{\circ}27'56,39''$  e distância de 615,965m até o vértice P12; de coordenadas N 7.798.660,4513 e E 592.886,1149, segue com azimute de  $54^{\circ}23'55,44''$  e distância de 263,604m até o vértice P13; de coordenadas N 7.798.813,9058 e E 593.100,4478, segue com azimute de  $26^{\circ}54'39,47''$  e distância de 1.631,937m até o vértice P14; de coordenadas N 7.800.269,1218 e E 593.839,0712, segue com azimute de  $335^{\circ}34'16,58''$  e distância de 920,741m até o vértice P15; de coordenadas N 7.801.107,4347 e E 593.458,2887, segue com azimute de  $18^{\circ}27'33,76''$  e distância de 202,346m até o vértice P16; de coordenadas N 7.801.299,3693 e E 593.522,3579, segue com azimute de  $76^{\circ}35'14,44''$  e distância de 275,812m até o vértice P17; de coordenadas N 7.801.363,3475 e E 593.790,6474, segue com azimute de  $38^{\circ}19'47,48''$  e distância de 96,850m até o vértice P18; de coordenadas N 7.801.439,3216 e E 593.850,7124, segue com azimute de  $68^{\circ}24'47,04''$  e distância de 228,237m até o vértice P19; de coordenadas N 7.801.523,2930 e E 594.062,9413, segue com azimute de  $130^{\circ}06'15,58''$  e distância de 1.049,559m até o vértice P20; de coordenadas N 7.800.847,1864 e E 594.865,7206, segue com azimute de  $82^{\circ}53'5,99''$  e distância de 742,513m até o vértice P21; de coordenadas N 7.800.939,1550 e E 595.602,5159, segue com azimute de  $33^{\circ}31'35,37''$  e distância de 1.139,179m até o vértice P22; de coordenadas N 7.801.888,8093 e E 596.231,7100, segue com azimute de  $27^{\circ}30'51,53''$  e distância de 1.309,297m até o vértice P23; de coordenadas N 7.803.050,0189 e E 596.836,5663, segue com azimute de  $34^{\circ}20'39,73''$  e distância de 568,612m até o vértice P24; de coordenadas N 7.803.519,4997 e E 597.157,3574, segue com azimute de  $134^{\circ}04'40,47''$  e distância de 183,942m até o vértice P25; de coordenadas N 7.803.391,5433 e E 597.289,5001, segue com azimute de  $50^{\circ}41'57,80''$  e distância de 315,654m até o vértice P26; de coordenadas N 7.803.591,4752 e E 597.533,7638, segue com azimute de  $332^{\circ}48'6,86''$  e distância de 341,675m até o vértice P27; de coordenadas N 7.803.895,3716 e E 597.377,5950, segue com azimute de  $359^{\circ}38'56,60''$  e distância de 641,301m até o vértice P28; de coordenadas N 7.804.536,6609 e E 597.373,6670, segue com azimute de  $47^{\circ}19'40,23''$  e distância de 681,206m até o vértice P29; de coordenadas N 7.804.998,3838 e E 597.874,5194, segue com azimute de  $4^{\circ}34'44,21''$  e distância de 1.052,821m até o vértice P30; de coordenadas N 7.806.047,8443 e E 597.958,5689, segue com azimute de  $30^{\circ}15'24,26''$  e distância de 2.385,438m até o vértice P31; de coordenadas N 7.808.108,3292 e E 599.160,5329, segue com azimute de  $45^{\circ}40'30,98''$  e distância de 1.562,993m até o vértice P32; de coordenadas N 7.809.200,4301 e E 600.278,6844, segue com azimute de  $6^{\circ}09'58,18''$  e distância de 966,098m até o vértice P33; de coordenadas N 7.810.160,9385 e E 600.382,4551, segue com azimute de  $23^{\circ}30'40,97''$  e distância de 640,840m até o vértice P34; de coordenadas N 7.810.748,5761 e E 600.638,1060, segue com azimute de  $6^{\circ}18'27,47''$  e distância de 471,626m até o vértice P35; de coordenadas N 7.811.217,3465 e E

600.689,9219, segue com azimute de  $321^{\circ}00'11,05''$  e distância de 1.726,329m até o vértice P36; de coordenadas N 7.812.559,0147 e E 599.603,5794, segue com azimute de  $14^{\circ}34'49,78''$  e distância de 1.221,379m até o vértice P37; de coordenadas N 7.813.741,0592 e E 599.911,0493, segue com azimute de  $54^{\circ}04'38,50''$  e distância de 2.061,213m até o vértice P38; de coordenadas N 7.814.950,3571 e E 601.580,2400, segue com azimute de  $64^{\circ}14'45,40''$  e distância de 1.086,844m até o vértice P39; de coordenadas N 7.815.422,6006 e E 602.559,1250, segue com azimute de  $42^{\circ}43'49,87''$  e distância de 2.478,804m até o vértice P40; de coordenadas N 7.817.243,4139 e E 604.241,1199, segue com azimute de  $64^{\circ}04'49,73''$  e distância de 1.216,543m até o vértice P41; de coordenadas N 7.817.775,1748 e E 605.335,2894, segue com azimute de  $110^{\circ}23'40,71''$  e distância de 1.433,467m até o vértice P42; de coordenadas N 7.817.275,6338 e E 606.678,8994, segue com azimute de  $84^{\circ}08'0,95''$  e distância de 1.718,142m até o vértice P43; de coordenadas N 7.817.451,2438 e E 608.388,0434, segue com azimute de  $57^{\circ}27'26,49''$  e distância de 970,581m até o vértice P44; de coordenadas N 7.817.973,3459 e E 609.206,2351, segue com azimute de  $84^{\circ}28'29,15''$  e distância de 907,347m até o vértice P45; de coordenadas N 7.818.060,7090 e E 610.109,3667, segue com azimute de  $121^{\circ}27'36,87''$  e distância de 809,463m até o vértice P46; de coordenadas N 7.817.638,2448 e E 610.799,8408, segue com azimute de  $97^{\circ}09'18,86''$  e distância de 703,938m até o vértice P47; de coordenadas N 7.817.550,5635 e E 611.498,2972, segue com azimute de  $102^{\circ}10'24,94''$  e distância de 1.986,799m até o vértice P48; de coordenadas N 7.817.131,5987 e E 613.440,4190, segue com azimute de  $83^{\circ}17'8,28''$  e distância de 1.887,213m até o vértice P49; de coordenadas N 7.817.352,2512 e E 615.314,6879, segue com azimute de  $57^{\circ}41'43,08''$  e distância de 1.081,354m, até o vértice P50; de coordenadas N 7.817.930,1504 e E 616.228,6681, segue com azimute de  $107^{\circ}11'20,56''$  e distância de 1.865,311m até o vértice P51; de coordenadas N 7.817.378,9037 e E 618.010,6644, segue com azimute de  $94^{\circ}25'56,78''$  e distância de 876,690m até o vértice P52; de coordenadas N 7.817.311,1501 e E 618.884,7325, segue com azimute de  $81^{\circ}24'55,73''$  e distância de 1.789,811m até o vértice P53; de coordenadas N 7.817.578,3120 e E 620.654,4920, segue com azimute de  $65^{\circ}07'29,71''$  e distância de 1.070,952m até o vértice P54; de coordenadas N 7.818.028,7985 e E 621.626,0886, segue com azimute de  $87^{\circ}41'31,74''$  e distância de 890,755m até o vértice P55; de coordenadas N 7.818.064,6681 e E 622.516,1215, segue com azimute de  $108^{\circ}35'27,85''$  e distância de 400,037m até o vértice P56; de coordenadas N 7.817.937,1317 e E 622.895,2837, segue com azimute de  $140^{\circ}06'2,00''$  e distância de 2.309,700m até o vértice P57; de coordenadas N 7.816.165,1961 e E 624.376,8225, segue com azimute de  $118^{\circ}42'44,21''$  e distância de 1.494,942m até o vértice P58; de coordenadas N 7.815.447,0087 e E 625.687,9515, segue com azimute de  $77^{\circ}14'2,55''$  e distância de 2.853,728m até o vértice P59; de coordenadas N 7.816.077,5944 e E 628.471,1377, segue com azimute de  $104^{\circ}24'18,67''$  e distância de 1.286,532m até o vértice P60; de coordenadas N 7.815.757,5340 e E 629.717,2223, segue com azimute de  $134^{\circ}50'12,18''$  e distância de 642,429m até o vértice P61; de coordenadas N 7.815.304,5644 e E 630.172,7810, segue com azimute de  $158^{\circ}29'23,01''$  e distância de 1.742,265m até o vértice P62; de coordenadas N 7.813.683,6453 e E 630.811,6138, segue com azimute de  $178^{\circ}29'53,93''$  e distância de 761,494m até o vértice P63; de coordenadas N 7.812.922,4125 e E 630.831,5697, segue com azimute de  $157^{\circ}39'53,54''$  e distância de 126,588m até o vértice P64; de coordenadas N 7.812.805,3217 e E 630.879,6761, segue com azimute de  $133^{\circ}17'24,00''$  e distância de 1.464,612m até o vértice P65; de coordenadas N 7.811.801,0498 e E 631.945,7563, segue com azimute de  $206^{\circ}46'20,79''$  e distância de



228,751m até o vértice P66; de coordenadas N 7.811.596,8199 e E 631.842,7156, segue com azimute de  $185^{\circ}16'4,39''$  e distância de 65,342m até o vértice P67; de coordenadas N 7.811.531,7540 e E 631.836,7164, segue com azimute de  $137^{\circ}29'43,27''$  e distância de 296,264m até o vértice P68; de coordenadas N 7.811.313,3412 e E 632.036,8875, segue com azimute de  $83^{\circ}40'7,44''$  e distância de 309,467m até o vértice P69; de coordenadas N 7.811.347,4682 e E 632.344,4672, segue com azimute de  $41^{\circ}11'41,90''$  e distância de 384,441m até o vértice P70; de coordenadas N 7.811.636,7496 e E 632.597,6690, segue com azimute de  $345^{\circ}00'52,89''$  e distância de 56,817m até o vértice P71; de coordenadas N 7.811.691,6344 e E 632.582,9778, segue com azimute de  $311^{\circ}50'45,24''$  e distância de 1.683,118m até o vértice P72; de coordenadas N 7.812.814,4919 e E 631.329,1529, segue com azimute de  $320^{\circ}37'59,21''$  e distância de 265,860m até o vértice P73; de coordenadas N 7.813.020,0282 e E 631.160,5224, segue com azimute de  $357^{\circ}02'26,34''$  e distância de 711,488m até o vértice P74; de coordenadas N 7.813.730,5670 e E 631.123,7901, segue com azimute de  $339^{\circ}16'8,40''$  e distância de 1.862,198m até o vértice P75; de coordenadas N 7.815.472,1922 e E 630.464,6077, segue com azimute de  $322^{\circ}36'40,91''$  e distância de 376,247m até o vértice P76; de coordenadas N 7.815.771,1336 e E 630.236,1437, segue com azimute de  $307^{\circ}03'51,10''$  e distância de 465,709m até o vértice P77; de coordenadas N 7.816.051,8207 e E 629.864,5264, segue com azimute de  $286^{\circ}46'22,23''$  e distância de 1.349,411m até o vértice P78; de coordenadas N 7.816.441,2311 e E 628.572,5238, segue com azimute de  $256^{\circ}44'13,51''$  e distância de 2.670,045m até o vértice P79; de coordenadas N 7.815.828,6699 e E 625.973,6953, segue com azimute de  $274^{\circ}57'45,80''$  e distância de 363,755m até o vértice P80; de coordenadas N 7.815.860,1374 e E 625.611,3042, segue com azimute de  $298^{\circ}27'6,20''$  e distância de 1.155,879m até o vértice P81; de coordenadas N 7.816.410,8189 e E 624.595,0339, segue com azimute de  $320^{\circ}46'46,93''$  e distância de 2.593,402m até o vértice P82; de coordenadas N 7.818.419,9811 e E 622.955,2157, segue com azimute de  $271^{\circ}26'45,42''$  e distância de 1.218,604m até o vértice P83; de coordenadas N 7.818.450,7312 e E 621.737,0001, segue com azimute de  $245^{\circ}29'34,83''$  e distância de 989,151m até o vértice P84; de coordenadas N 7.818.040,4270 e E 620.836,9609, segue com azimute de  $260^{\circ}50'37,52''$  e distância de 2.114,662m até o vértice P85; de coordenadas N 7.817.703,9267 e E 618.749,2440, segue com azimute de  $275^{\circ}23'29,67''$  e distância de 790,904m até o vértice P86; de coordenadas N 7.817.778,2415 e E 617.961,8395, segue com azimute de  $287^{\circ}41'23,94''$  e distância de 1.943,881m até o vértice P87; de coordenadas N 7.818.368,9217 e E 616.109,8762, segue com azimute de  $233^{\circ}50'31,03''$  e distância de 1.140,945m até o vértice P88; de coordenadas N 7.817.695,7474 e E 615.188,6856, segue com azimute de  $262^{\circ}45'25,18''$  e distância de 1.735,664m até o vértice P89; de coordenadas N 7.817.476,9186 e E 613.466,8713, segue com azimute de  $281^{\circ}26'28,03''$  e distância de 1.838,716m até o vértice P90; de coordenadas N 7.817.841,6478 e E 611.664,6918, segue com azimute de  $292^{\circ}27'2,48''$  e distância de 1.473,475m até o vértice P91; de coordenadas N 7.818.404,3506 e E 610.302,8932, segue com azimute de  $263^{\circ}51'4,09''$  e distância de 1.869,154m até o vértice P92; de coordenadas N 7.818.204,1417 e E 608.444,4930, segue com azimute de  $226^{\circ}41'26,42''$  e distância de 672,225m até o vértice P93; de coordenadas N 7.817.743,0380 e E 607.955,3412, segue com azimute de  $264^{\circ}05'1,56''$  e distância de 1.251,066m até o vértice P94; de coordenadas N 7.817.614,0852 e E 606.710,9389, segue com azimute de  $291^{\circ}27'43,73''$  e distância de 1.242,950m até o vértice P95; de coordenadas N 7.818.068,8639 e E 605.554,1755, segue com azimute de  $334^{\circ}50'8,71''$  e distância de 349,710m até o vértice P96; de coordenadas

N 7.818.385,3841 e E 605.405,4735, segue com azimute de  $291^{\circ}42'23,91''$  e distância de 623,358m até o vértice P97; de coordenadas N 7.818.615,9360 e E 604.826,3177, segue com azimute de  $242^{\circ}31'44,70''$  e distância de 533,673m até o vértice P98; de coordenadas N 7.818.369,7535 e E 604.352,8189, segue com azimute de  $191^{\circ}21'12,97''$  e distância de 655,874m até o vértice P99; de coordenadas N 7.817.726,7142 e E 604.223,7012, segue com azimute de  $222^{\circ}21'39,40''$  e distância de 2.446,149m até o vértice P100; de coordenadas N 7.815.919,2188 e E 602.575,4891, segue com azimute de  $231^{\circ}41'18,60''$  e distância de 515,139m até o vértice P101; de coordenadas N 7.815.599,8653 e E 602.171,2843, segue com azimute de  $248^{\circ}23'0,46''$  e distância de 795,548m até o vértice P102; de coordenadas N 7.815.306,7909 e E 601.431,6867, segue com azimute de  $235^{\circ}02'59,48''$  e distância de 2.298,391m até o vértice P103; de coordenadas N 7.813.990,1268 e E 599.547,8086, segue com azimute de  $193^{\circ}59'15,07''$  e distância de 1.311,145m até o vértice P104; de coordenadas N 7.812.717,8593 e E 599.230,8911, segue com azimute de  $168^{\circ}28'45,40''$  e distância de 450,645m até o vértice P105; de coordenadas N 7.812.276,2939 e E 599.320,8949, segue com azimute de  $139^{\circ}02'32,66''$  e distância de 1.141,287m até o vértice P106; de coordenadas N 7.811.414,3996 e E 600.069,0090, segue com azimute de  $167^{\circ}10'26,98''$  e distância de 370,357m até o vértice P107; de coordenadas N 7.811.053,2836 e E 600.151,2238, segue com azimute de  $202^{\circ}20'55,31''$  e distância de 1.049,751m até o vértice P108; de coordenadas N 7.810.082,3822 e E 599.752,0638, segue com azimute de  $279^{\circ}54'0,64''$  e distância de 290,122m até o vértice P109; de coordenadas N 7.810.132,2635 e E 599.466,2625, segue com azimute de  $222^{\circ}18'51,19''$  e distância de 174,387m até o vértice P110; de coordenadas N 7.810.003,3107 e E 599.348,8660, segue com azimute de  $130^{\circ}06'57,13''$  e distância de 327,490m até o vértice P111; de coordenadas N 7.809.792,2972 e E 599.599,3117, segue com azimute de  $174^{\circ}38'11,81''$  e distância de 627,975m até o vértice P112; de coordenadas N 7.809.167,0718 e E 599.658,0099, segue com azimute de  $224^{\circ}55'14,36''$  e distância de 1.129,410m até o vértice P113; de coordenadas N 7.808.367,3528 e E 598.860,5027, segue com azimute de  $211^{\circ}53'49,56''$  e distância de 2.504,436m até o vértice P114; de coordenadas N 7.806.241,0907 e E 597.537,1704, segue com azimute de  $181^{\circ}20'15,84''$  e distância de 1.072,558m até o vértice P115; de coordenadas N 7.805.168,8253 e E 597.512,1308, segue com azimute de  $249^{\circ}12'15,21''$  e distância de 659,379m até o vértice P116; de coordenadas N 7.804.934,7205 e E 596.895,7086, segue com azimute de  $191^{\circ}14'40,08''$  e distância de 534,763m até o vértice P117; de coordenadas N 7.804.410,2225 e E 596.791,4321, segue com azimute de  $176^{\circ}42'21,82''$  e distância de 740,498m até o vértice P118; de coordenadas N 7.803.670,9483 e E 596.833,9800, segue com azimute de  $221^{\circ}10'21,29''$  e distância de 410,439m até o vértice P119; de coordenadas N 7.803.361,9984 e E 596.563,7758, segue com azimute de  $205^{\circ}50'59,63''$  e distância de 1.459,414m até o vértice P120; de coordenadas N 7.802.048,6142 e E 595.927,4494, segue com azimute de  $215^{\circ}07'43,37''$  e distância de 931,782m até o vértice P121; de coordenadas N 7.801.286,5455 e E 595.391,2878, segue com azimute de  $261^{\circ}45'10,09''$  e distância de 416,626m até o vértice P122; de coordenadas N 7.801.226,7829 e E 594.978,9706, segue com azimute de  $307^{\circ}55'31,74''$  e distância de 1.060,979m até o vértice P123; de coordenadas N 7.801.878,8992 e E 594.142,0585, segue com azimute de  $266^{\circ}10'10,66''$  e distância de 746,534m até o vértice P124; de coordenadas N 7.801.829,0286 e E 593.397,1926, segue com azimute de  $279^{\circ}30'28,24''$  e distância de 135,429m até o vértice P125; de coordenadas N 7.801.851,3991 e E 593.263,6240, segue com azimute de  $211^{\circ}48'19,43''$  e distância de 132,764m até o vértice P126; de coordenadas N 7.801.738,5707 e

E 593.193,6527, segue com azimute de  $192^{\circ}35'52,33''$  e distância de 677,273m até o vértice P127; de coordenadas N 7.801.077,6032 e E 593.045,9347, segue com azimute de  $155^{\circ}29'48,75''$  e distância de 922,347m até o vértice P128; de coordenadas N 7.800.238,3244 e E 593.428,4714, segue com azimute de  $205^{\circ}58'2,95''$  e distância de 1.265,964m até o vértice P129; de coordenadas N 7.799.100,1686 e E 592.874,1550, segue com azimute de  $266^{\circ}09'22,78''$  e distância de 832,401m até o vértice P130; de coordenadas N 7.799.044,3690 e E 592.043,6262, segue com azimute de  $219^{\circ}18'3,35''$  e distância de 1.063,947m até o vértice P131; de coordenadas N 7.798.221,0553 e E 591.369,7293, segue com azimute de  $258^{\circ}46'12,08''$  e distância de 600,662m até o vértice P132; de coordenadas N 7.798.104,0778 e E 590.780,5677, segue com azimute de  $228^{\circ}16'33,67''$  e distância de 424,718m até o vértice P133; de coordenadas N 7.797.821,4097 e E 590.463,5752, segue com azimute de  $191^{\circ}21'17,52''$  e distância de 615,039m até o vértice P134; de coordenadas N 7.797.218,4093 e E 590.342,4832, segue com azimute de  $213^{\circ}58'31,11''$  e distância de 1.371,950m até o vértice P135; de coordenadas N 7.796.080,6804 e E 589.575,7886, segue com azimute de  $194^{\circ}58'25,85''$  e distância de 603,000m até o vértice P1; perfazendo uma área de 25.410.339 m<sup>2</sup> (vinte e cinco milhões, quatrocentos e dez mil e trezentos e trinta e nove metros quadrados); III – bloco 3: inicia-se a descrição deste perímetro no vértice 154, de coordenadas N 7.793.447,70 e E 589.397,31, segue com azimute de  $108^{\circ}04'54''$  e distância de 320,00m, até o vértice 155, de coordenadas N 7.793.348,38 e E 589.701,50 segue com azimute de  $197^{\circ}54'19''$  e distância de 478,15m até o vértice 156, de coordenadas N 7.792.893,39 e E 589.554,50 segue com azimute de  $186^{\circ}52'00''$  e distância de 256,22m, até o vértice 157, de coordenadas N 7.792.639,01 e E 589.523,87 segue com azimute de  $181^{\circ}08'31''$  e distância de 913,19m, até o vértice 158, de coordenadas N 7.791.726,00 e E 589.505,67 segue com azimute de  $225^{\circ}51'44''$  e distância de 1.141,54m, até o vértice 159, de coordenadas N 7.790.931,04 e E 588.686,42 segue com azimute de  $203^{\circ}05'35''$  e distância de 259,66m, até o vértice 160, de coordenadas N 7.790.692,19 e E 588.584,58 segue com azimute de  $188^{\circ}20'28''$  e distância de 741,59m, até o vértice 161, de coordenadas N 7.789.958,44 e E 588.476,99 segue com azimute de  $152^{\circ}34'34''$  e distância de 87,45m, até o vértice 162, de coordenadas N 7.789.880,82 e E 588.517,27 segue com azimute de  $126^{\circ}38'34''$  e distância de 799,28m, até o vértice 163, de coordenadas N 7.789.403,79 e E 589.158,59 segue com azimute de  $85^{\circ}00'31''$  e distância de 1.652,33m, até o vértice 164, de coordenadas N 7.789.547,56 e E 590.804,66 segue com azimute de  $63^{\circ}51'00''$  e distância de 633,35m, até o vértice 165, de coordenadas N 7.789.826,69 e E 591.373,18 segue com azimute de  $96^{\circ}15'17''$  e distância de 514,46m, até o vértice 166, de coordenadas N 7.789.770,64 e E 591.884,59 segue com azimute de  $57^{\circ}22'26''$  e distância de 871,12m, até o vértice 167, de coordenadas N 7.790.240,30 e E 592.618,25 segue com azimute de  $86^{\circ}30'20''$  e distância de 398,99m, até o vértice 168, de coordenadas N 7.790.264,62 e E 593.016,50 segue com azimute de  $109^{\circ}37'45''$  e distância de 430,84m, até o vértice 169, de coordenadas N 7.790.119,89 e E 593.422,31 segue com azimute de  $138^{\circ}05'20''$  e distância de 944,60m, até o vértice 170, de coordenadas N 7.789.416,94 e E 594.053,27 segue com azimute de  $96^{\circ}27'45''$  e distância de 917,99m, até o vértice 171, de coordenadas N 7.789.313,61 e E 594.965,43 segue com azimute de  $71^{\circ}58'24''$  e distância de 490,90m, até o vértice 172, de coordenadas N 7.789.465,53 e E 595.432,24 segue com azimute de  $111^{\circ}20'54''$  e distância de 463,93m, até o vértice 173, de coordenadas N 7.789.296,64 e E 595.864,34 segue com azimute de  $161^{\circ}17'00''$  e distância de 362,47m, até o vértice 174, de coordenadas N 7.788.953,34 e E 595.980,65 segue com azimute de  $180^{\circ}14'55''$  e distância de 1.089,07m, até o vértice 175, de coordenadas N

7.787.864,28 e E 595.975,92 segue com azimute de  $165^{\circ}19'43''$  e distância de 222,64m, até o vértice 176, de coordenadas N 7.787.648,89 e E 596.032,31 segue com azimute de  $150^{\circ}39'08''$  e distância de 722,71m, até o vértice 177, de coordenadas N 7.787.018,93 e E 596.386,52 segue com azimute de  $163^{\circ}07'20''$  e distância de 132,28m, até o vértice 178, de coordenadas N 7.786.892,35 e E 596.424,93 segue com azimute de  $166^{\circ}43'27''$  e distância de 773,78m, até o vértice 179, de coordenadas N 7.786.139,25 e E 596.602,62 segue com azimute de  $169^{\circ}12'26''$  e distância de 386,28m, até o vértice 180, de coordenadas N 7.785.759,81 e E 596.674,95 segue com azimute de  $234^{\circ}30'17''$  e distância de 436,65m, até o vértice 181, de coordenadas N 7.785.506,27 e E 596.319,44 segue com azimute de  $267^{\circ}26'05''$  e distância de 421,95m, até o vértice 118, de coordenadas N 7.785.487,38 e E 595.897,92 segue com azimute de  $30^{\circ}47'02''$  e distância de 227,50m, até o vértice 119, de coordenadas N 7.785.682,83 e E 596.014,36 segue com azimute de  $54^{\circ}02'49''$  e distância de 225,48m, até o vértice 120, de coordenadas N 7.785.815,22 e E 596.196,88 segue com azimute de  $37^{\circ}34'15''$  e distância de 139,93m, até o vértice 121, de coordenadas N 7.785.926,12 e E 596.282,20 segue com azimute de  $3^{\circ}40'23''$  e distância de 139,93m, até o vértice 122, de coordenadas N 7.786.065,77 e E 596.291,17 segue com azimute de  $346^{\circ}43'27''$  e distância de 763,43m, até o vértice 123, de coordenadas N 7.786.808,79 e E 596.115,85 segue com azimute de  $338^{\circ}41'56''$  e distância de 133,47m, até o vértice 124, de coordenadas N 7.786.933,15 e E 596.067,37 segue com azimute de  $330^{\circ}40'24''$  e distância de 641,18m, até o vértice 125, de coordenadas N 7.787.492,16 e E 595.753,32 segue com azimute de  $332^{\circ}30'04''$  e distância de 178,82m, até o vértice 126, de coordenadas N 7.787.650,78 e E 595.670,76 segue com azimute de  $356^{\circ}01'26''$  e distância de 213,92m, até o vértice 127, de coordenadas N 7.787.864,19 e E 595.655,92 segue com azimute de  $359^{\circ}59'02''$  e distância de 1.006,48m, até o vértice 128, de coordenadas N 7.788.870,67 e E 595.655,64 segue com azimute de  $279^{\circ}45'53''$  e distância de 736,90m, até o vértice 129, de coordenadas N 7.788.995,65 e E 594.929,42 segue com azimute de  $276^{\circ}27'45''$  e distância de 917,99m, até o vértice 130, de coordenadas N 7.789.098,97 e E 594.017,26 segue com azimute de  $279^{\circ}16'17''$  e distância de 366,49m, até o vértice 131, de coordenadas N 7.789.158,01 e E 593.655,56 segue com azimute de  $330^{\circ}30'18''$  e distância de 325,67m, até o vértice 132, de coordenadas N 7.789.441,48 e E 593.495,22 segue com azimute de  $330^{\circ}04'28''$  e distância de 242,63m, até o vértice 133, de coordenadas N 7.789.651,76 e E 593.374,17 segue com azimute de  $306^{\circ}52'53''$  e distância de 439,32m, até o vértice 134, de coordenadas N 7.789.915,42 e E 593.022,77 segue com azimute de  $260^{\circ}29'44''$  e distância de 439,32m, até o vértice 135, de coordenadas N 7.789.842,88 e E 592.589,49 segue com azimute de  $237^{\circ}18'09''$  e distância de 632,22m, até o vértice 136, de coordenadas N 7.789.501,35 e E 592.057,45 segue com azimute de  $241^{\circ}27'19''$  e distância de 276,92m, até o vértice 137, de coordenadas N 7.789.369,02 e E 591.814,19 segue com azimute de  $279^{\circ}32'21''$  e distância de 492,28m, até o vértice 138, de coordenadas N 7.789.450,60 e E 591.328,71 segue com azimute de  $243^{\circ}31'34''$  e distância de 1.130,61m até o vértice 139, de coordenadas N 7.788.946,59 e E 590.316,66 segue com azimute de  $274^{\circ}05'25''$  e distância de 1.194,12m, até o vértice 140, de coordenadas N 7.789.031,77 e E 589.125,58 segue com azimute de  $306^{\circ}06'57''$  e distância de 195,55m, até o vértice 141, de coordenadas N 7.789.147,03 e E 588.967,61 segue com azimute de  $306^{\circ}38'34''$  e distância de 799,28m, até o vértice 142, de coordenadas N 7.789.624,06 e E 588.326,29 segue com azimute de  $273^{\circ}08'33''$  e distância de 1.310,56m, até o vértice 143, de coordenadas N 7.789.695,91 e E 587.017,70 segue com azimute de  $225^{\circ}48'08''$  e distância de 370,70m, até o vértice 144, de coordenadas N 7.789.437,48 e E 586.751,93 segue com azimute de  $312^{\circ}53'22''$  e distância de 498,55m, até o

vértice 145, de coordenadas N 7.789.776,78 e E 586.386,66 segue com azimute de 45°32'15" e distância de 1.102,17m, até o vértice 146, de coordenadas N 7.790.548,79 e E 587.173,28 segue com azimute de 134°11'29" e distância de 794,16m, até o vértice 147, de coordenadas N 7.789.995,21 e E 587.742,71 segue com azimute de 52°17'13" e distância de 594,24m, até o vértice 148, de coordenadas N 7.790.358,72 e E 588.212,81 segue com azimute de 8°24'28" e distância de 672,84m, até o vértice 149, de coordenadas N 7.791.024,33 e E 588.311,19 segue com azimute de 46°30'33" e distância de 1.046,96m, até o vértice 150, de coordenadas N 7.791.744,89 e E 589.070,74 segue com azimute de 33°35'50" e distância de 151,92m, até o vértice 151, de coordenadas N 7.791.871,43 e E 589.154,81 segue com azimute de 10°01'20" e distância de 221,61m, até o vértice 152, de coordenadas N 7.792.089,66 e E 589.193,37 segue com azimute de 1°06'31" e distância de 771,62m, até o vértice 153, de coordenadas N 7.792.861,13 e E 589.208,30 segue com azimute de 17°51'36" e distância de 616,26m, até o vértice 154, de coordenadas N 7.793.447,70 e E 589.397,31; ponto inicial da descrição deste perímetro, perfazendo uma área de 6.694.079 m<sup>2</sup> (seis milhões, seiscentos e noventa e quatro mil e setenta e nove metros quadrados); IV – bloco 4: inicia-se a descrição deste perímetro no vértice 333, de coordenadas N 7.791.121,27 e E 592.166,12, segue com azimute de 107°52'16" e distância de 936,13m, até o vértice 332, de coordenadas N 7.790.833,99 e E 593.057,08 segue com azimute de 149°11'02" e distância de 3.316,80m, até o vértice 331, de coordenadas N 7.787.985,47 e E 594.756,23 segue com azimute de 113°07'46" e distância de 1.480,58m, até o vértice 330, de coordenadas N 7.787.403,89 e E 596.117,80 segue com azimute de 158°39'36" e distância de 1.530,74m, até o vértice 329, de coordenadas N 7.785.978,09 e E 596.674,84 segue com azimute de 203°20'45" e distância de 1.780,55, até o vértice 328, de coordenadas N 7.784.343,32 e E 595.969,24 segue com azimute de 145°04'12" e distância de 4.144,23m, até o vértice 327, de coordenadas N 7.780.945,66 e E 598.342,12 segue com azimute de 107°32'40" e distância de 1.061,29m, até o vértice 326, de coordenadas N 7.780.625,74 e E 599.354,05 segue com azimute de 160°43'45" e distância de 1.709,71m, até o vértice 325, de coordenadas N 7.779.011,83 e E 599.918,31 segue com azimute de 202°56'44" e distância de 2.328,06m, até o vértice 324, de coordenadas N 7.776.867,98 e E 599.010,70 segue com azimute de 189°27'55" e distância de 3.166,81m, até o vértice 323, de coordenadas N 7.773.744,29 e E 598.489,91 segue com azimute de 273°02'14" e distância de 249,85m, até o vértice 322, de coordenadas N 7.773.757,53 e E 598.240,42 segue com azimute de 8°32'28" e distância de 3.216,39m, até o vértice 321, de coordenadas N 7.776.938,25 e E 598.718,11 segue com azimute de 23°06'51" e distância de 2.258,59m, até o vértice 320, de coordenadas N 7.779.015,53 e E 599.604,75 segue com azimute de 340°50'58" e distância de 1.407,12m, até o vértice 319, de coordenadas N 7.780.344,78 e E 599.143,14 segue com azimute de 285°27'59" e distância de 1.051,95m, até o vértice 318, de coordenadas N 7.780.625,30 e E 598.129,29 segue com azimute de 325°22'56" e distância de 4.475,13m, até o vértice 317, de coordenadas N 7.784.308,15 e E 595.586,97 segue com azimute de 25°20'22" e distância de 1.807,84m, até o vértice 316, de coordenadas N 7.785.942,06 e E 596.360,70 segue com azimute de 339°20'04" e distância de 1.308,37m, até o vértice 315, de coordenadas N 7.787.166,24 e E 595.898,96 segue com azimute de 294°11'04" e distância de 1.458,08m, até o vértice 314, de coordenadas N 7.787.763,58 e E 594.568,86 segue com azimute de 328°35'53" e distância de 3.357,42m, até o vértice 313, de coordenadas N 7.790.629,25 e E 592.819,51 segue com azimute de 289°42'09" e distância de 675,36m, até o vértice 312, de coordenadas N 7.790.856,94 e E 592.183,69 segue com azimute de 255°29'48" e distância de 2.540,52m, até o vértice 311, de coordenadas N 7.790.220,70 e E 589.724,13 segue

com azimute de  $284^{\circ}32'34''$  e distância de 970,45m, até o vértice 310, de coordenadas N 7.790.464,38 e E 588.784,78 segue com azimute de  $264^{\circ}32'00''$  e distância de 993,60m, até o vértice 309, de coordenadas N 7.790.369,72 e E 587.795,70 segue com azimute de  $220^{\circ}50'41''$  e distância de 175,32m, até o vértice 308, de coordenadas N 7.790.237,10 e E 587.681,04 segue com azimute de  $232^{\circ}26'38''$  e distância de 484,25m, até o vértice 307, de coordenadas N 7.789.941,93 e E 587.297,14 segue com azimute de  $240^{\circ}27'03''$  e distância de 427,11m, até o vértice 306, de coordenadas N 7.789.731,29 e E 586.925,58 segue com azimute de  $264^{\circ}41'03''$  e distância de 362,45m, até o vértice 305, de coordenadas N 7.789.697,71 e E 586.564,69 segue com azimute de  $1^{\circ}23'07''$  e distância de 162,16m, até o vértice 304, de coordenadas N 7.789.859,83 e E 586.568,61 segue com azimute de  $73^{\circ}41'50''$  e distância de 208,51m, até o vértice 303, de coordenadas N 7.789.918,36 e E 586.768,74 segue com azimute de  $34^{\circ}43'43''$  e distância de 290,73m, até o vértice 302, de coordenadas N 7.790.157,30 e E 586.934,36 segue com azimute de  $54^{\circ}44'01''$  e distância de 186,43m, até o vértice 301, de coordenadas N 7.790.264,94 e E 587.086,58 segue com azimute de  $96^{\circ}09'14''$  e distância de 204,67m, até o vértice 300, de coordenadas N 7.790.243,00 e E 587.290,07 segue com azimute de  $62^{\circ}34'35''$  e distância de 149,92m, até o vértice 299, de coordenadas N 7.790.312,05 e E 587.423,14 segue com azimute de  $57^{\circ}54'02''$  e distância de 371,28m, até o vértice 298, de coordenadas N 7.790.509,34 e E 587.737,66 segue com azimute de  $22^{\circ}21'09''$  e distância de 162,59m, até o vértice 297, de coordenadas N 7.790.659,71 e E 587.799,49 segue com azimute de  $1^{\circ}24'14''$  e distância de 169,60m, até o vértice 296, de coordenadas N 7.790.829,26 e E 587.803,65 segue com azimute de  $90^{\circ}18'45''$  e distância de 46,79m, até o vértice 295, de coordenadas N 7.790.829,01 e E 587.850,44 segue com azimute de  $94^{\circ}33'40''$  e distância de 943,87m, até o vértice 294, de coordenadas N 7.790.753,95 e E 588.791,32 segue com azimute de  $107^{\circ}01'45''$  e distância de 956,53m, até o vértice 293, de coordenadas N 7.790.473,82 e E 589.705,91 segue com azimute de  $75^{\circ}15'22''$  e distância de 2.543,98m, até o vértice 333, de coordenadas N 7.791.121,27 e E 592.166,12; ponto inicial da descrição deste perímetro, perfazendo uma área de 8.072.126 m<sup>2</sup> (oito milhões, setenta e dois mil e cento e vinte seis metros quadrados); V – bloco 5: inicia-se a descrição deste perímetro no vértice 182, de coordenadas N 7.785.506,27 e E 596.319,44, situado no início do polígono, segue com azimute de  $208^{\circ}23'15''$  e distância de 455,62m, até o vértice 183, de coordenadas N 7.785.105,44 e E 596.102,83 segue com azimute de  $191^{\circ}00'55''$  e distância de 776,67m, até o vértice 184, de coordenadas N 7.784.343,08 e E 595.954,43 segue com azimute de  $121^{\circ}23'21''$  e distância de 636,01m, até o vértice 185, de coordenadas N 7.784.011,82 e E 596.497,36 segue com azimute de  $161^{\circ}27'20''$  e distância de 299,74m, até o vértice 186, de coordenadas N 7.783.727,64 e E 596.592,69 segue com azimute de  $152^{\circ}29'44''$  e distância de 351,56m, até o vértice 187, de coordenadas N 7.783.415,82 e E 596.755,04 segue com azimute de  $144^{\circ}27'31''$  e distância de 914,62m, até o vértice 188, de coordenadas N 7.782.671,59 e E 597.286,70 segue com azimute de  $165^{\circ}44'50''$  e distância de 242,98m, até o vértice 189, de coordenadas N 7.782.436,09 e E 597.346,53 segue com azimute de  $194^{\circ}44'15''$  e distância de 303,28m, até o vértice 190, de coordenadas N 7.782.142,78 e E 597.269,37 segue com azimute de  $213^{\circ}14'12''$  e distância de 450,11m, até o vértice 191, de coordenadas N 7.781.766,30 e E 597.022,67 segue com azimute de  $211^{\circ}52'43''$  e distância de 169,87m, até o vértice 192, de coordenadas N 7.781.622,05 e E 596.932,95 segue com azimute de  $200^{\circ}20'25''$  e distância de 277,47m, até o vértice 193, de coordenadas N 7.781.361,89 e E 596.836,51 segue com azimute de  $190^{\circ}24'07''$  e distância de 1.115,15m, até o vértice 194, de coordenadas N 7.780.265,07 e E 596.635,17 segue com azimute de  $186^{\circ}30'21''$  e distância de

214,70m, até o vértice 195, de coordenadas N 7.780.051,75 e E 596.610,84 segue com azimute de 172°31'03" e distância de 209,91m, até o vértice 196, de coordenadas N 7.779.843,63 e E 596.638,17 segue com azimute de 168°37'20" e distância de 3.053,04m, até o vértice 197, de coordenadas N 7.776.850,58 e E 597.240,48 segue com azimute de 165°12'36" e distância de 350,55m, até o vértice 198, de coordenadas N 7.776.511,65 e E 597.329,96 segue com azimute de 158°23'10" e distância de 350,55m, até o vértice 199, de coordenadas N 7.776.185,75 e E 597.459,09 segue com azimute de 154°58'27" e distância de 2.040,26m, até o vértice 200, de coordenadas N 7.774.337,04 e E 598.322,17 segue com azimute de 157°28'29" e distância de 267,78m, até o vértice 201, de coordenadas N 7.774.089,69 e E 598.424,76 segue com azimute de 169°07'37" e distância de 195,50m, até o vértice 202, de coordenadas N 7.773.897,69 e E 598.461,64 segue com azimute de 172°16'56" e distância de 639,21m, até o vértice 203, de coordenadas N 7.773.264,28 e E 598.547,48 segue com azimute de 163°51'21" e distância de 166,71m, até o vértice 204, de coordenadas N 7.773.104,15 e E 598.593,83 segue com azimute de 151°57'38" e distância de 206,91m, até o vértice 205, de coordenadas N 7.772.921,52 e E 598.691,10 segue com azimute de 144°26'28" e distância de 1.487,61m, até o vértice 206, de coordenadas N 7.771.711,32 e E 599.556,20 segue com azimute de 124°20'09" e distância de 666,78m, até o vértice 207, de coordenadas N 7.771.335,23 e E 600.106,79 segue com azimute de 88°42'57" e distância de 666,78m, até o vértice 208, de coordenadas N 7.771.350,17 e E 600.773,41 segue com azimute de 65°08'02" e distância de 445,34m, até o vértice 209, de coordenadas N 7.771.537,43 e E 601.177,45 segue com azimute de 43°06'46" e distância de 689,89m, até o vértice 210, de coordenadas N 7.772.041,06 e E 601.648,95 segue com azimute de 96°13'00" e distância de 309,99m, até o vértice 211, de coordenadas N 7.772.007,49 e E 601.957,12 segue com azimute de 106°06'18" e distância de 989,36m, até o vértice 212, de coordenadas N 7.771.733,05 e E 602.907,65 segue com azimute de 97°55'34" e distância de 150,04m, até o vértice 213, de coordenadas N 7.771.712,36 e E 603.056,26 segue com azimute de 64°05'35" e distância de 354,01m, até o vértice 214, de coordenadas N 7.771.867,03 e E 603.374,69 segue com azimute de 78°28'04" e distância de 158,59m, até o vértice 215, de coordenadas N 7.771.898,73 e E 603.530,08 segue com azimute de 83°58'41" e distância de 768,81m, até o vértice 216, de coordenadas N 7.771.979,39 e E 604.294,65 segue com azimute de 67°25'06" e distância de 122,56m, até o vértice 217, de coordenadas N 7.772.026,45 e E 604.407,81 segue com azimute de 43°42'48" e distância de 165,62m, até o vértice 218, de coordenadas N 7.772.146,16 e E 604.522,26 segue com azimute de 51°59'01" e distância de 183,16m, até o vértice 219, de coordenadas N 7.772.258,97 e E 604.666,56 segue com azimute de 67°38'10" e distância de 189,91m, até o vértice 220, de coordenadas N 7.772.331,23 e E 604.842,19 segue com azimute de 72°41'27" e distância de 737,83m, até o vértice 221, de coordenadas N 7.772.550,75 e E 605.546,60 segue com azimute de 67°13'53" e distância de 146,39m, até o vértice 222, de coordenadas N 7.772.607,41 e E 605.681,59 segue com azimute de 46°56'17" e distância de 146,39m, até o vértice 223, de coordenadas N 7.772.707,36 e E 605.788,55 segue com azimute de 42°05'31" e distância de 376,88m, até o vértice 224, de coordenadas N 7.772.987,03 e E 606.041,18 segue com azimute de 54°45'56" e distância de 178,83m, até o vértice 225, de coordenadas N 7.773.090,21 e E 606.187,25 segue com azimute de 73°05'29" e distância de 251,15m, até o vértice 226, de coordenadas N 7.773.163,25 e E 606.427,54 segue com azimute de 83°22'59" e distância de 1.623,77m, até o vértice 227, de coordenadas N 7.773.350,36 e E 608.040,49 segue com azimute de 73°56'59" e distância de 221,65m, até o vértice 228, de coordenadas N 7.773.411,64 e E 608.253,51 segue com azimute

de 343°56'59" e distância de 681,14m, até o vértice 229, de coordenadas N 7.774.066,23 e E 608.065,18 segue com azimute de 73°56'59" e distância de 220,66m, até o vértice 230, de coordenadas N 7.774.127,24 e E 608.277,24 segue com azimute de 163°59'00" e distância de 1.062,18m, até o vértice 231, de coordenadas N 7.773.106,29 e E 608.570,32 segue com azimute de 131°08'44" e distância de 295,91m, até o vértice 232, de coordenadas N 7.772.911,59 e E 608.793,15 segue com azimute de 199°31'41" e distância de 283,31m, até o vértice 233, de coordenadas N 7.772.644,57 e E 608.698,44 segue com azimute de 164°06'15" e distância de 478,15m, até o vértice 234, de coordenadas N 7.772.184,71 e E 608.829,40 segue com azimute de 254°06'15" e distância de 211,92m, até o vértice 235, de coordenadas N 7.772.126,66 e E 608.625,58 segue com azimute de 344°06'15" e distância de 790,81m, até o vértice 236, de coordenadas N 7.772.887,23 e E 608.408,99 segue com azimute de 303°26'07" e distância de 249,09m, até o vértice 237, de coordenadas N 7.773.024,48 e E 608.201,12 segue com azimute de 263°23'29" e distância de 1.709,27m, até o vértice 238, de coordenadas N 7.772.827,76 e E 606.503,21 segue com azimute de 255°48'12" e distância de 163,07m, até o vértice 239, de coordenadas N 7.772.787,77 e E 606.345,12 segue com azimute de 229°04'00" e distância de 163,07m, até o vértice 240, de coordenadas N 7.772.680,93 e E 606.221,93 segue com azimute de 221°31'07" e distância de 309,66m, até o vértice 241, de coordenadas N 7.772.449,08 e E 606.016,67 segue com azimute de 224°18'10" e distância de 72,47m, até o vértice 242, de coordenadas N 7.772.397,21 e E 605.966,05 segue com azimute de 231°56'39" e distância de 125,08m, até o vértice 243, de coordenadas N 7.772.320,11 e E 605.867,56 segue com azimute de 246°19'46" e distância de 239,24m, até o vértice 244, de coordenadas N 7.772.224,06 e E 605.648,45 segue com azimute de 252°41'27" e distância de 735,05m, até o vértice 245, de coordenadas N 7.772.005,36 e E 604.946,69 segue com azimute de 245°50'02" e distância de 148,23m, até o vértice 246, de coordenadas N 7.771.944,68 e E 604.811,45 segue com azimute de 232°10'11" e distância de 146,06m, até o vértice 247, de coordenadas N 7.771.855,10 e E 604.696,09 segue com azimute de 228°08'26" e distância de 111,20m, até o vértice 248, de coordenadas N 7.771.780,89 e E 604.613,27 segue com azimute de 238°18'57" e distância de 138,32m, até o vértice 249, de coordenadas N 7.771.708,25 e E 604.495,57 segue com azimute de 254°53'57" e distância de 189,80m, até o vértice 250, de coordenadas N 7.771.658,80 e E 604.312,32 segue com azimute de 264°01'51" e distância de 734,78m, até o vértice 251, de coordenadas N 7.771.582,39 e E 603.581,53 segue com azimute de 260°05'04" e distância de 104,34m, até o vértice 252, de coordenadas N 7.771.564,42 e E 603.478,75 segue com azimute de 240°57'13" e distância de 139,92m, até o vértice 253, de coordenadas N 7.771.496,49 e E 603.356,43 segue com azimute de 240°45'26" e distância de 111,32m, até o vértice 254, de coordenadas N 7.771.442,11 e E 603.259,30 segue com azimute de 243°24'03" e distância de 132,23m, até o vértice 255, de coordenadas N 7.771.382,90 e E 603.141,06 segue com azimute de 266°21'11" e distância de 118,94m, até o vértice 256, de coordenadas N 7.771.375,33 e E 603.022,36 segue com azimute de 283°35'48" e distância de 187,74m, até o vértice 257, de coordenadas N 7.771.419,47 e E 602.839,88 segue com azimute de 286°24'45" e distância de 896,68m, até o vértice 258, de coordenadas N 7.771.672,83 e E 601.979,74 segue com azimute de 273°24'28" e distância de 185,17m, até o vértice 259, de coordenadas N 7.771.683,83 e E 601.794,89 segue com azimute de 233°31'46" e distância de 163,09m, até o vértice 260, de coordenadas N 7.771.586,89 e E 601.663,74 segue com azimute de 220°38'19" e distância de 459,90m, até o vértice 261, de coordenadas N 7.771.237,91 e E 601.364,22 segue com azimute de 244°10'22" e distância de 571,63m, até o vértice 262, de coordenadas N



7.770.988,87 e E 600.849,69 segue com azimute de  $265^{\circ}37'28''$  e distância de 635,86m, até o vértice 263, de coordenadas N 7.770.940,36 e E 600.215,69 segue com azimute de  $289^{\circ}50'12''$  e distância de 655,46m, até o vértice 264, de coordenadas N 7.771.162,79 e E 599.599,11 segue com azimute de  $323^{\circ}36'26''$  e distância de 2.062,84m, até o vértice 265, de coordenadas N 7.772.823,31 e E 598.375,19 segue com azimute de  $334^{\circ}11'34''$  e distância de 181,66m, até o vértice 266, de coordenadas N 7.772.986,85 e E 598.296,10 segue com azimute de  $347^{\circ}04'08''$  e distância de 395,63m, até o vértice 267, de coordenadas N 7.773.372,45 e E 598.207,57 segue com azimute de  $352^{\circ}33'05''$  e distância de 506,78m, até o vértice 268, de coordenadas N 7.773.874,96 e E 598.141,87 segue com azimute de  $351^{\circ}06'56''$  e distância de 71,11m, até o vértice 269, de coordenadas N 7.773.945,22 e E 598.130,89 segue com azimute de  $340^{\circ}22'34''$  e distância de 202,65m, até o vértice 270, de coordenadas N 7.774.136,10 e E 598.062,83 segue com azimute de  $334^{\circ}58'27''$  e distância de 2.112,63m, até o vértice 271, de coordenadas N 7.776.050,38 e E 597.169,13 segue com azimute de  $338^{\circ}23'10''$  e distância de 388,64m, até o vértice 272, de coordenadas N 7.776.411,69 e E 597.025,97 segue com azimute de  $345^{\circ}12'36''$  e distância de 388,64m, até o vértice 273, de coordenadas N 7.776.787,45 e E 596.926,77 segue com azimute de  $348^{\circ}38'39''$  e distância de 3.150,55m, até o vértice 274, de coordenadas N 7.779.876,33 e E 596.306,42 segue com azimute de  $354^{\circ}50'34''$  e distância de 173,15m, até o vértice 275, de coordenadas N 7.780.048,78 e E 596.290,85 segue com azimute de  $6^{\circ}09'03''$  e distância de 275,17m, até o vértice 276, de coordenadas N 7.780.322,36 e E 596.320,34 segue com azimute de  $10^{\circ}18'53''$  e distância de 1.009,04m, até o vértice 277, de coordenadas N 7.781.315,09 e E 596.501,01 segue com azimute de  $12^{\circ}16'14''$  e distância de 191,10m, até o vértice 278, de coordenadas N 7.781.501,83 e E 596.541,62 segue com azimute de  $21^{\circ}59'29''$  e distância de 295,16m, até o vértice 279, de coordenadas N 7.781.775,51 e E 596.652,15 segue com azimute de  $32^{\circ}56'25''$  e distância de 602,06m, até o vértice 280, de coordenadas N 7.782.280,78 e E 596.979,53 segue com azimute de  $17^{\circ}37'53''$  e distância de 155,43m, até o vértice 281, de coordenadas N 7.782.428,91 e E 597.026,61 segue com azimute de  $340^{\circ}29'04''$  e distância de 147,78m, até o vértice 282, de coordenadas N 7.782.568,20 e E 596.977,24 segue com azimute de  $323^{\circ}52'36''$  e distância de 751,52m, até o vértice 283, de coordenadas N 7.783.175,24 e E 596.534,20 segue com azimute de  $328^{\circ}42'18''$  e distância de 345,59m, até o vértice 284, de coordenadas N 7.783.470,55 e E 596.354,69 segue com azimute de  $337^{\circ}05'15''$  e distância de 289,50m, até o vértice 285, de coordenadas N 7.783.737,20 e E 596.241,98 segue com azimute de  $313^{\circ}54'13''$  e distância de 191,05m, até o vértice 286, de coordenadas N 7.783.869,69 e E 596.104,32 segue com azimute de  $290^{\circ}36'18''$  e distância de 313,46m, até o vértice 287, de coordenadas N 7.783.980,00 e E 595.810,92 segue com azimute de  $324^{\circ}58'31''$  e distância de 336,62m, até o vértice 288, de coordenadas N 7.784.255,66 e E 595.617,72 segue com azimute de  $358^{\circ}11'46''$  e distância de 257,33m, até o vértice 289, de coordenadas N 7.784.512,86 e E 595.609,62 segue com azimute de  $16^{\circ}23'00''$  e distância de 593,16m, até o vértice 290, de coordenadas N 7.785.081,94 e E 595.776,93 segue com azimute de  $7^{\circ}47'51''$  e distância de 247,47m, até o vértice 291, de coordenadas N 7.785.327,11 e E 595.810,50 segue com azimute de  $28^{\circ}36'33''$  e distância de 182,56m, até o vértice 292, de coordenadas N 7.785.487,38 e E 595.897,92 segue com azimute de  $87^{\circ}26'05''$  e distância de 421,95m, até o vértice 182, de coordenadas N 7.785.506,27 e E 596.319,44; ponto inicial da descrição deste perímetro, perfazendo uma área de 8.710.271 m<sup>2</sup> (oito milhões setecentos e dez mil e duzentos e setenta e um metros quadrados); VI – bloco 6: inicia-se a descrição deste perímetro no vértice 97, de coordenadas N 7.772.787,77 e E 606.345,12, segue com azimute de  $160^{\circ}33'50''$  e

distância de 188,66m, até o vértice 98, de coordenadas N 7.772.609,86 e E 606.407,90 segue com azimute de 128°44'53" e distância de 886,91m, até o vértice 99, de coordenadas N 7.772.054,75 e E 607.099,61 segue com azimute de 133°57'24" e distância de 208,12m, até o vértice 100, de coordenadas N 7.771.910,29 e E 607.249,42 segue com azimute de 143°07'48" e distância de 126,15m, até o vértice 101, de coordenadas N 7.771.809,37 e E 607.325,11 segue com azimute de 144°52'41" e distância de 211,40m, até o vértice 102, de coordenadas N 7.771.636,46 e E 607.446,74 segue com azimute de 145°16'37" e distância de 119,27m, até o vértice 103, de coordenadas N 7.771.538,43 e E 607.514,68 segue com azimute de 115°59'31" e distância de 70,98m, até o vértice 104, de coordenadas N 7.771.507,32 e E 607.578,48 segue com azimute de 112°12'59" e distância de 544,44m, até o vértice 105, de coordenadas N 7.771.301,47 e E 608.082,50 segue com azimute de 202°02'17" e distância de 480,00m, até o vértice 106, de coordenadas N 7.770.856,54 e E 607.902,39 segue com azimute de 292°19'14" e distância de 577,98m, até o vértice 107, de coordenadas N 7.771.076,05 e E 607.367,72 segue com azimute de 297°07'49" e distância de 209,34m, até o vértice 108, de coordenadas N 7.771.171,51 e E 607.181,41 segue com azimute de 326°03'22" e distância de 219,57m, até o vértice 109, de coordenadas N 7.771.353,66 e E 607.058,81 segue com azimute de 324°51'37" e distância de 248,90m, até o vértice 110, de coordenadas N 7.771.557,20 e E 606.915,54 segue com azimute de 321°28'34" e distância de 81,54m, até o vértice 111, de coordenadas N 7.771.620,99 e E 606.864,76 segue com azimute de 312°11'22" e distância de 87,51m, até o vértice 112, de coordenadas N 7.771.679,76 e E 606.799,92 segue com azimute de 308°59'53" e distância de 763,85m, até o vértice 113, de coordenadas N 7.772.160,45 e E 606.206,28 segue com azimute de 295°10'54" e distância de 233,57m, até o vértice 114, de coordenadas N 7.772.259,83 e E 605.994,91 segue com azimute de 264°06'19" e distância de 348,30m, até o vértice 115, de coordenadas N 7.772.224,06 e E 605.648,45 segue com azimute de 66°19'46" e distância de 239,24m, até o vértice 116, de coordenadas N 7.772.320,11 e E 605.867,56 segue com azimute de 51°56'39" e distância de 125,08m, até o vértice 117, de coordenadas N 7.772.397,21 e E 605.966,05 segue com azimute de 42°02'48" e distância de 382,06m, até o vértice 96, de coordenadas N 7.772.680,93 e E 606.221,93 segue com azimute de 49°04'00" e distância de 163,07m, até o vértice 97, de coordenadas N 7.772.787,77 e E 606.345,12; ponto inicial da descrição deste perímetro, perfazendo uma área de 1.204.444 m<sup>2</sup> (um milhão, duzentos e quatro mil e quatrocentos e quarenta e quatro metros quadrados).

Secretaria de Estado de Infraestrutura e Mobilidade

Secretário: Fernando Scharlack Marcato

Departamento de Edificações e Estradas de Rodagem de Minas Gerais – DER

Diretor-Geral: Fabrício Torres Sampaio

Ato Assinado pelo Diretor de Planejamento, Gestão e Finanças: CONCEDE LICENÇA À GESTANTE, nos termos do Art. 175, da Lei nº 869/1952 e art. 7º, inciso XVIII da CF/1988, Lei Complementar nº 64/2002, à servidora: Masp 1108686-5 – BEATRIZ DE ALMEIDA BASTOS PINHEIRO, por um período de 120 dias, a partir de 04/10/2020. REGISTRA AFASTAMENTO POR MOTIVO DE LUTO, nos termos da alínea "b" do art. 201 da Lei nº 869, de 5/7/1952, por oito dias, da servidora: Masp 1018264-0– TATIANA LÚCIA DE FREITAS NUNES, a partir de 04/10/2020.

Departamento de Edificações e Estradas de Rodagem de Minas Gerais - DER

AVISO DE ADIAMENTO - EDITAL Nº 042/2020. SEI Nº 2300.01.0123641/2020-81. O Diretor Geral do Departamento de Edificações e Estradas de Rodagem do Estado de Minas Gerais - DER/MG, torna público que, por motivo de ordem administrativa, a CONCORRÊNCIA para Elaboração do Diagnóstico da Situação da Edificação do Hospital Regional de Sete Lagoas, no Município de Sete Lagoas, Estado de Minas Gerais, conforme edital e composições de custos unitários constantes do quadro de quantidades, disponíveis no endereço acima citado e no site [www.der.mg.gov.br](http://www.der.mg.gov.br), anteriormente marcada para o dia 30/10/2020, às 09:00 (nove horas), fica adiada para o dia 03/11/2020 às 09:00 (nove horas) em virtude do ponto facultativo. A data para entrega dos envelopes de documentação e proposta de preços continua sendo o dia 29/10/2020 até as 17:00 horas.

JULGAMENTO DE HABILITAÇÃO - EDITAL Nº: 034/2020. PROCESSO SEI Nº: 2300.01.0110802/2020-56. O Presidente da Comissão Permanente de Licitação do Departamento de Edificações e Estradas de Rodagem do Estado de Minas Gerais – DER/ MG, torna público que foram habilitadas as licitantes: BTEC Construções Ltda.; EPAV Empresa de Pavimentação Ltda.; CONSÓRCIO 034 (Construtora SINARCO Ltda. e FFX Construções e Serviços Ltda.); IPÊ Engenharia Eirelli; CCL Construtora Centro Leste Engenharia Ltda e Construtora CONTORNO Ltda. e inabilitadas as sociedades: EMPRESER Empresa de Prestação de Serviços Ltda.; CONSERVASOLO Engenharia de Projetos e Consultoria Técnica Ltda.; DURO NA QUEDA Construções Ltda. e CIRCUITO Engenharia e Construções Ltda., na licitação objeto do edital em epígrafe. A partir desta publicação fica aberto prazo de 05 (cinco) dias úteis para interposição de recursos e a documentação estará à disposição dos interessados para análise no Núcleo de Licitações, localizado na Avenida dos Andradas, 1.120, 10º andar, nesta capital, nos horários de 09:00h (nove horas) às 11:00h (onze horas) e de 14:00h (quatorze horas) às 16:00h (dezesseis horas). 7 cm -15 1409296 – 1

HABILITAÇÃO POR ORDEM JUDICIAL - EDITAL Nº: 013/2020. PROCESSO Nº: 1707 2301 2020. O Presidente da Comissão Permanente de Licitação do Departamento de Edificações e Estradas de Rodagem do Estado de Minas Gerais – DER/ MG, torna público a habilitação da empresa NOVA ENGEVIX Engenharia e Projetos S/A no presente certame, por força de decisão judicial emitida pelo juiz da 3ª Vara da Fazenda Pública e Autarquias de Belo Horizonte – MG, no dia 19 de setembro de 2020, nos seguintes termos: "... Posto Isso, CONCEDO A ORDEM para suspender os efeitos da decisão que considerou inabilitada a impetrante em razão do não cumprimento do item 7.1.8.1 e determino à autoridade coatora que habilite a impetrante nos procedimentos licitatórios posteriores vinculados aos Editais de Concorrência nº 013/2020, 014/2020, 015/2020 do DER/MG, permitindo-se o prosseguimento do certame até seus ulteriores termos...". Diante disso, o Presidente da CPL torna público que a reunião de abertura da Proposta Técnica da alusiva licitante, será realizada no dia 26/10/2020 às 09:30h (nove horas e trinta minutos), à Av. dos Andradas, 1.120/10º andar, sala 1.003, nesta capital, convocando, assim, todos os interessados em participar da referida reunião.

HABILITAÇÃO POR ORDEM JUDICIAL - EDITAL Nº: 014/2020. PROCESSO Nº: 1708 2301 2020. O Presidente da Comissão Permanente de Licitação do Departamento de Edificações e Estradas de

Rodagem do Estado de Minas Gerais – DER/ MG, torna público a habilitação da empresa NOVA ENGEVIX Engenharia e Projetos S/A no presente certame, por força de decisão judicial emitida pelo juiz da 3ª Vara da Fazenda Pública e Autarquias de Belo Horizonte – MG, no dia 19 de setembro de 2020, nos seguintes termos: “... Posto Isso, CONCEDO A ORDEM para suspender os efeitos da decisão que considerou inabilitada a impetrante em razão do não cumprimento do item 7.1.8.1 e determino à autoridade coatora que habilite a impetrante nos procedimentos licitatórios posteriores vinculados aos Editais de Concorrência nº 013/2020, 014/2020, 015/2020 do DER/MG, permitindo-se o prosseguimento do certame até seus ulteriores termos...”. Diante disso, o Presidente da CPL torna público que a reunião de abertura da Proposta Técnica da alusiva licitante, será realizada no dia 26/10/2020 às 09:30h (nove horas e trinta minutos), à Av. dos Andradas, 1.120/10º andar, sala 1.003, nesta capital, convocando, assim, todos os interessados em participar da referida reunião.

HABILITAÇÃO POR ORDEM JUDICIAL - EDITAL Nº: 015/2020. PROCESSO Nº: 1706 2301 2020. O Presidente da Comissão Permanente de Licitação – CPL do Departamento de Edificações e Estradas de Rodagem do Estado de Minas Gerais – DER/MG, torna público a habilitação da empresa NOVA ENGEVIX Engenharia e Projetos S/A no presente certame, por força de decisão judicial emitida pelo juiz da 3ª Vara da Fazenda Pública e Autarquias de Belo Horizonte – MG, no dia 19 de setembro de 2020, nos seguintes termos: “... Posto Isso, CONCEDO A ORDEM para suspender os efeitos da decisão que considerou inabilitada a impetrante em razão do não cumprimento do item 7.1.8.1 e determino à autoridade coatora que habilite a impetrante nos procedimentos licitatórios posteriores vinculados aos Editais de Concorrência nº 013/2020, 014/2020, 015/2020 do DER/MG, permitindo-se o prosseguimento do certame até seus ulteriores termos...”. Diante disso, o Presidente da CPL torna público que a reunião de abertura da Proposta Técnica da alusiva licitante, será realizada no dia 26/10/2020 às 09:30h (nove horas e trinta minutos), à Av. dos Andradas, 1.120/10º andar, sala 1.003, nesta capital, convocando, assim, todos os interessados em participar da referida reunião.

HOMOLOGAÇÃO - EDITAL Nº: 028/2020. PROCESSO Nº: 00004 2301 2020. O Diretor Geral do Departamento de Edificações e Estradas de Rodagem do Estado de Minas Gerais - DER/MG, no uso de suas atribuições e adotando a conclusão do relatório da Comissão Permanente de Licitação - CPL, HOMOLOGA a TOMADA DE PREÇOS para Complementação dos serviços de apoio a supervisão de Obras Rodoviárias no trecho Antônio Carlos - Bias Fortes, com 19,56 km de extensão, na Rodovia MG/135, adjudicando o objeto licitado à sociedade empresária PORTO ASSUNÇÃO Engenharia Ltda., CNPJ: 06.045.864/0001-06, com o preço global de R\$760.436,36 (setecentos e sessenta mil, quatrocentos e trinta e seis reais e trinta e seis centavos) referente a abril de 2020. A partir da publicação desta homologação, a empresa vencedora fica convocada a apresentar garantia contratual de 5% (cinco) por cento do valor do contrato, no prazo de até 03 (três) dias úteis

EXTRATO DE CONTRATO Contratante: Departamento de Edificações e Estradas de Rodagem do Estado de Minas Gerais. Contratadas: RAFTECO COMERCIO DE MATERIAL DE INFORMATICA EIRELI - ME CNPJ 07.214.878/0001-79, valor R\$ 2.391,00 , LV DE SOUZA COMERCIO E SERVIÇOS - ME CNPJ 18939548/0001-67, valor R\$ 1.726,45, SIC DISTRIBUIDORA DE PRODUTOS DIDÁTICOS E LABORATORIAIS LTDA, CNPJ 11.090.831/0001-18, valor R\$ 13.900,06 , ANDREA LEMOS DA SILVEIRA BUENO CNPJ 19.182.970/0001-83, valor R\$ 100,00 , FABERMINAS COMERCIO DE

MATERIAL HOSPITALAR E HIGIENE EIRELI CNPJ 27.424.764/0001-60, valor R\$ 270,07 , REIS COMERCIO ATACADISTA E VAREJISTA DE DIVERSOS ARTIGOS E SUPRIMENTOS LTDA, CNPJ 29.332.265/0001-79, valor R\$ 72,60 e TECIDOS E ARMARINHOS MIGUEL BARTOLOMEU S/A CNPJ 17.359.233/0001-88, valor R\$ 1.144,00. Objeto: Aquisição de ferramentas . Dotações orçamentárias: 2301 04 122 705 2500 0001 339030 , fonte de recursos 10.1 e 2301 04 122 705 2500 0001 449052 fonte de recursos 47.1, Vigência: 12 meses, contados da publicação das Atas Registros de Preços. Processo nº 1450.01.0056412/2019-41 e 2300.01.0021993/2019-62.